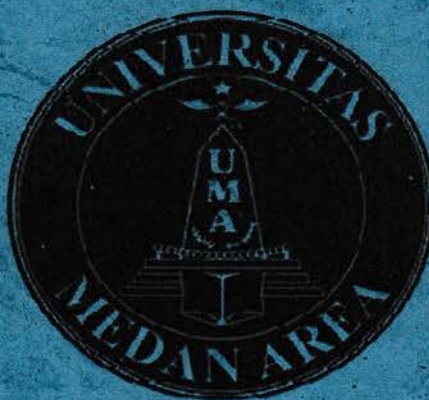


TUGAS RANCANGAN ELEMEN MESIN II

**RANCANGAN ELEMEN MESIN II RODA GIGI
TRANSMISSION SUZUKI ERTIGA**

Daya (P) : 95 Ps

Putaran (n) : 6000 rpm



Disusun Oleh:

MUHAMMAD SYAFRIZAL

168130005

DOSEN PEMBIMBING TUGAS RANCANGAN:

Ir.H.DARIANTO,MSc./0126066502

PROGRAM STUDI TEKNIK MESIN

FAKULTAS TEKNIK

UNIVERSITAS MEDAN AREA

MEDAN

2019

TUGAS RANCANGAN ELEMEN MESIN II

**RANCANGAN ELEMEN MESIN II RODA GIGI
TRANSMISSION SUZUKI ERTIGA**

Daya (P) : 95 Ps

Putaran (n) : 6000 rpm



Disusun Oleh:

MUHAMMAD SYAFRIZAL

168130005

DOSEN PEMBIMBING TUGAS RANCANGAN:

Ir.H.DARIANTO,MSc./0126066502

PROGRAM STUDI TEKNIK MESIN

FAKULTAS TEKNIK

UNIVERSITAS MEDAN AREA

MEDAN

2019

HALAMAN PENGESAHAN TUGAS RANCANGAN

TUGAS RANCANGAN ELEMEN MESIN II
RODA GIGI TRANSMISSION SUZUKI ERTIGA

Daya (P) : 95 Ps

Putaran (n) : 6000 rpm

Disusun Oleh:

MUHAMMAD SYAFRIZAL

NIDN.130005



Koordinator Tugas

A handwritten signature in black ink, appearing to read "Amru Siregar".

(Ir.H.Amru Siregar,MT.)

NIDN.0022065901

Dosen Pembimbing

A handwritten signature in black ink, appearing to read "Darianto".

(Ir.H.Darianto,MSc.)

NIDN.0126066502

Diketahui Oleh:

Ketua Program Studi Teknik Mesin

A handwritten signature in black ink, appearing to read "Zulfikar".

(Zulfikar,ST.,MT.)

NIDN.0007127307

KATA PENGANTAR

Dengan memanajatkan syukur kehadirat allah SWT atas rahma-Nya penyusun dapat menyelesaikan karya tulis ini.

Karya tulis ini adalah sebagai salah satu syarat yang harus di penuhi untuk sidang akhir jurusan Teknik Mesin.

Dalam penulisan karya tulis ini, penyusunan menyadari bahwa tidak luput dari berbagai hambatan dan kekurangan,namun berkat bimbingan dan dorongan dari berbagai pihak sehingga tersusunlah karya tulis ini dengan judul Perancangan Roda Gigi Suzuki Ertiga.

Selama perancanaan Elemen Mesin ini penulis sangat banyak menerima bantuan, baik moril maupun materil. Oleh karena itu pada kesempatan ini penulis ingin mengucapkan terima kasih yang sedalam – dalamnya terhadap Ayahanda dan Ibunda tecinta serta keluarga dan sahabat, yang telah memberikan doa dan dukungan kepada penulis selama ini pada kesempatan ini pula penulis juga mengucapkan terima kasih kepada :

1. Bapak Zulfikar,ST.,MT. Ketua Jurusan Teknik Mesin Universitas Medan Area.
2. Bapak Ir.H.Darianto,Msc. sebagai dosen Bimbingan Yang Telah Memberika Banyak Masukan Kepada Penulis.
3. Bapak Ir. Amru Siregar,MT. sebagai Koordinator Tugas Rancangan.

Penulis menyadari bahwa laporan ini masih banyak terdapat kekurangan dan ketidak sempurnan. Oleh Sebab itu saran-saran dan kritikan yang bersifat membangun selalu penulis harapkan guna perbaikan untuk kedepan, dengan harapan laporan ini dapat bermanfaat bagi penulis sendiri dan rekan-rekan yang membacanya.

Medan, 07 Desember 2019

Penulis

DAFTAR ISI

HALAMAN PENGESAHAN	i
KATA PENGANTAR	i
DAFTAR ISI	ii
DAFTAR GAMBAR.....	iii
DAFTAR TABEL	iv
BAB I.....	1
PENDAHULUAN.....	1
1.1. Latar Belakang Perencanaan	1
1.2. Tujuan Perencanaan	2
1.3. Batasan Masalah.....	2
1.4. Sistematika Penulisan.....	2
BAB II.....	3
TINJAUAN PUSTAKA.....	3
2.1. Klasifikasi Roda Gigi	3
2.2. Macam-macam Roda Gigi	5
BAB III.....	11
PERHITUNGAN UKURAN UTAMA KOPLING.....	11
3.1. Poros.....	11
3.2. Spline dan Naaf.....	17
3.2.1. Perhitungan Spline dan Naaf.....	18
3.3. Bantalan.....	22
3.4. Baut dan Mur.....	27
BAB IV	32
PERENCANAAN RODA GIGI	32
4.1. Perencanaan Roda Gigi	32
4.2. Perhitungan Roda Gigi Kecepatan Satu	33
4.3. Perhitungan Roda Gigi Kecepatan Dua	38
4.4. Perhitungan Roda Gigi Kecepatan Tiga.....	42
4.5. Perhitungan Roda Gigi Kecepatan Empat.....	46
4.6. Perhitungan Roda Gigi Kecepatan Lima.....	51
4.7. Perhitungan Roda Gigi Kecepatan Mundur (Reverse).....	55
BAB V	61
KESIMPULAN	61
5.1 Kesimpulan	61
DAFTAR PUSTAKA	64

DAFTAR GAMBAR

Gambar. 2.1. Roda gigi lurus	5
Gambar. 2.2. Roda gigi miring.....	6
Gambar. 2.3. Roda gigi miring ganda	6
Gambar. 2.4. Roda gigi dalam dan pinyon.....	7
Gambar. 2.5. Roda gigi dan pinyon	7
Gambar. 2.6. Roda gigi kerucut lurus	8
Gambar. 2.7. Roda gigi kerucut spiral	8
Gambar. 2.8. Roda gigi permukaan	8
Gambar. 2.9. Roda gigi miring silang.....	9
Gambar. 2.10. Roda gigi cacing silindris.....	9
Gambar. 2.11. Roda gigi cacing selubung ganda (<i>globoid</i>)	10
Gambar. 2.12. Roda gigi hypoid	10
Gambar 3.1 Poros.....	11
Gambar 3.2 Spline.....	17
Gambar 3.3 Bantalan.....	22
Gambar 3.4 Baut dan Mur.....	27
Gambar. 4.1. Nama-nama bagian roda gigi	32

DAFTAR TABEL

Tabel 3.1. Faktor koreksi daya yang akan ditransmisikan (f_c)	12
Tabel 3.2. Standart bahan poros	13
Tabel 3.3. Diameter poros.....	14
Tabel 3.4. DIN 5462 – DIN 5464	18
Tabel 3.5. Bantalan Bola.....	22
Tabel 3.6. Faktor - faktor V, X, Y dan X_0 , Y_0	23
Tabel 3.7. Ukuran standar ulir kasar metris	28

BAB I

PENDAHULUAN

1.1. Latar Belakang Perencanaan

Roda Gigi merupakan suatu elemen yang mempunyai peran sangat penting di dalam mentransmisikan daya dan putaran dari suatu penggerak atau motor. Roda gigi berfungsi untuk mentransmisikan daya dan putaran dari suatu poros ke poros yang lain dengan rasio kecepatan yang konstan dan memiliki efisiensi yang tinggi.

Diluar transmisi di atas ada pula cara lain untuk memindahkan daya, misalnya dengan sabuk dan rantai, tetapi transmisi dengan roda gigi jauh lebih unggul dibandingkan dengan sabuk dan rantai sebab faktor slip pada roda gigi kecil dan putaran lebih tinggi dan tepat serta daya yang dipindahkan lebih besar. Meskipun demikian dalam dunia industri tidak selalu dipakai roda gigi sebagai alat transmisi karena roda gigi memerlukan ketelitian yang besar dalam waktu pembuatan, pemasangan maupun waktu pemeliharaannya.

Alat transmisi pada saat ini semakin berkembang pesat, dimana sekarang ini dari sistem manual menjadi sistem matic. Walaupun demikian sistem transmisi secara manual masih ada juga yang menggunakan tetapi lebih dominan masyarakat menggunakan sistem transmisi matic.

Dalam rangka mengimbangi perkembangan ilmu pengetahuan dan teknologi yang sedemikian cepat. Maka, setiap mahasiswa teknik mesin harus mengetahui dan memahami proses perencanaan, pembuatan, pemasangan dan pemeliharaan sistem itu sendiri. Walaupun lebih ditekankan pada proses perencanaannya.

Sesuai dengan tujuan seperti tersebut diatas, maka setiap mahasiswa prodi Teknik Mesin Fakultas Teknik Universitas Medan Area diberikan tugas perencanaan ulang sistem transmisi dari suatu peralatan atau mesin yang merupakan syarat untuk mengikuti tugas akhir.

1.2. Tujuan Perencanaan

Tujuan perencanaan roda gigi antara lain adalah :

1. Untuk merancang sebuah roda gigi yang digunakan untuk mentransmisikan putaran atau daya dari motor penggerak.
2. Untuk memperoleh ukuran komponen-komponen utama dan komponen - komponen pendukung dari suatu roda gigi.

1.3. Batasan Masalah

Pada perancangan ini yang dibahas adalah desain suatu roda gigi kendaraan bermotor, yakni tipe Suzuki Ertiga yang digunakan untuk memindahkan dan memutuskan putaran dan daya antara poros input dan poros output dengan daya dan putaran yaitu daya 95 PS dan putaran 6000 rpm.

1.4. Sistematika Penulisan

Menguraikan tentang latar belakang, tujuan, perencanaan, batasan masalah, sistematika penulisan (BAB 1), Uraian tentang klasifikasi Roda Gigi dan pembahasan Roda Gigi (BAB 2), Uraian tentang perhitungan-perhitungan utama untuk Roda Gigi (BAB 3) meliputi :

- Perhitungan Poros
- Perhitungan Spline dan Naaf
- Perhitungan Bantalan
- Perhitungan Baut dan Mur

Selanjutnya Perancanaan Roda Gigi (BAB 4) Penutupan berisikan tentang Kesimpulan (BAB 5).

BAB II

TINJAUAN PUSTAKA

Sesuai dengan fungsinya roda gigi adalah merupakan elemen mesin yang dapat mentransmisikan daya dan putaran. Aspek yang harus diperhatikan dalam perencanaan ini adalah efek - efek yang diakibatkan dalam pemindahan daya dan putaran. Dalam pemindahan daya dan putaran tersebut masih ada alat yang berperan sebagai pemindah daya dan putaran yaitu sabuk 8 rantai.

Diluar transmisi diatas ada pula cara lain untuk memindahkan daya, misalnya dengan sabuk (*belt*) dan rantai (*chain*), tetapi transmisi dengan roda gigi jauh lebih unggul dibanding dengan sabuk dan rantai, faktor slip pada roda gigi jauh lebih kecil dan putaran lebih tinggi tepat serta daya yang dipindahkan lebih besar. Namun untuk merencanakan sebagai alat pemindah daya pada transmisi (*gear box*) harus benar - benar mampu memindahkan roda gigi sebagai alat pemindah daya.

Oleh karena itu di dalam perencanaan roda gigi harus benar-benar teliti untuk perencanaan dan pembuatannya sehingga pada putaran yang tinggi tidak terjadi slip yang dapat mengakibatkan putaran roda gigi tidak bekerja sebagaimana yang diinginkan dalam perencanaan ini.

2.1. Klasifikasi Roda Gigi

Roda gigi memiliki gigi di sekelilingnya sehingga penerusan daya dilakukan oleh gigi-gigi kedua roda yang saling berkait. Roda gigi sering digunakan karena dapat meneruskan putaran dan daya yang lebih bervariasi dan lebih kompak daripada menggunakan alat transmisi yang lainnya, selain itu roda gigi juga memiliki beberapa kelebihan jika dibandingkan dengan alat transmisi lainnya, yaitu:

- Sistem transmisinya lebih ringkas, putaran lebih tinggi dan daya yang besar.
- Sistem yang kompak sehingga konstruksinya sederhana.
- Kemampuan menerima beban lebih tinggi.
- Efisiensi pemindahan dayanya tinggi karena faktor terjadinya slip sangat kecil.

- Kecepatan transmisi roda gigi dapat ditentukan sehingga dapat digunakan dengan pengukuran yang kecil dan daya yang besar.

Roda gigi dapat diklasifikasikan menurut poros arah putaran dan bentuk gigi. Untuk lebih jelasnya dapat dilihat pada tabel 6.1 (Dasar Perencanaan dan Pemilihan Elemen Mesin) hal.212.

Letak poros	Roda gigi	Keterangan
Roda gigi dengan poros sejajar	Roda gigi lurus, (a) Roda gigi miring, (b) Roda gigi miring ganda, (c)	(Klasifikasi atas dasar bentuk alur gigi)
	Roda gigi luar Roda gigi dalam dan pinyon, (d) Batang gigi dan pinyon,(e)	Arah putaran berlawanan Arah putaran sama Gerak lurus & berputar
Roda gigi dengan poros berpotongan	Roda gigi kerucut lurus, (f) Roda gigi kerucut spiral, (g) Roda gigi kerucut ZEROL Roda gigi kerucut miring Roda gigi kerucut miring ganda	(Klasifikasi atas dasar bentuk jalur gigi)
	Roda gigi permukaan dengan poros berpotongan, (h)	(Roda gigi dengan poros berpotongan berbentuk istimewa)
Roda gigi dengan poros silang	Roda gigi miring silang, (i) Batang gigi miring silang	Kontak titik Gerakan lurus dan berputar
	Roda gigi cacing silindris, (j) Roda gigi cacing selubung Ganda (globoid), (k) Roda gigi cacing samping	
	Roda gigi hiperboloid Roda gigi hipoid, (l) Roda gigi permukaan silang	

Sumber : Dasar Perencanaan dan Pemilihan Elemen Mesin, hal 212, Sularso dan Kiyokatsu Suga

Dari tabel di atas maka roda gigi ini dapat dibedakan atau diklasifikasikan menjadi sebagai berikut :

- a. Roda gigi dengan poros sejajar.
- b. Roda gigi dengan poros yang berpotongan.
- c. Roda gigi dengan poros silang / tegak lurus.

a. *Roda gigi dengan Poros Sejajar*

Roda gigi dengan poros sejajar adalah roda gigi dimana gigi - giginya sejajar pada dua bidang silinder. Kedua bidang silinder tersebut bersinggungan dan yang satu mengelilingi pada yang lain dengan sumbu tetap sejajar.

b. *Roda gigi dengan Poros yang Berpotongan*

Roda gigi dengan poros yang berpotongan ini digunakan pada suatu transmisi yang memiliki poros tidak sejajar.

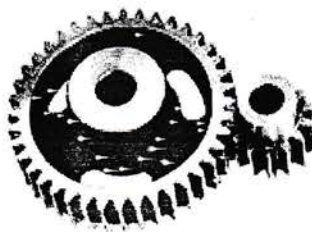
c. *Roda gigi dengan Poros Silang / Tegak Lurus*

Yang termasuk pada jenis ini adalah roda gigi miring silang, batang gigi miring silang (kontak gigi gerakan lurus dan berputar), roda gigi cacing silindris, roda gigi cacing selubung ganda (*globoid*), roda gigi cacing samping, roda gigi tipe *hiperboloid*, roda gigi *hipoid*, roda gigi permukaan silang.

2.2. Macam-macam Roda Gigi

a. *Roda Gigi Lurus*

Roda gigi lurus adalah jenis roda gigi yang dapat mentransmisikan daya dan putaran antara dua poros yang sejajar. Roda gigi ini merupakan yang paling dasar dengan jalur gigi yang sejajar dengan poros.



Gambar. 2.1. Roda gigi lurus

b. *Roda Gigi Miring*

Roda gigi miring ini memiliki jalur gigi yang berbentuk ulir silindris yang mempunyai jarak bagi. Jumlah pasangan gigi yang saling membuat kontak serentak (perbandingan kontak) adalah lebih besar dari pada roda gigi lurus sehingga pemindahan momen atau putaran melalui gigi - gigi tersebut dapat berlangsung lebih halus. Roda gigi ini sangat baik dipakai untuk mentransmisikan putaran yang tinggi dan besar.



Gambar. 2.2. Roda gigi miring

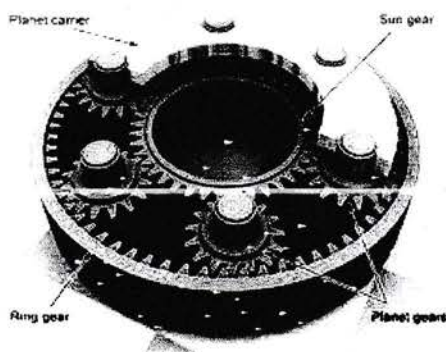
c. *Roda Gigi Miring Ganda*

Pada roda gigi ini gaya aksial yang timbul pada gigi mempunyai alur berbentuk alur V yang akan saling memindahkan. Dengan roda gigi ini reduksi, kecepatan keliling dan daya diteruskan dan diperbesar tetapi pada pembuatannya agak sukar.

Gambar. 2.3. Roda gigi miring ganda

d. *Roda Gigi Dalam dan Pinyon*

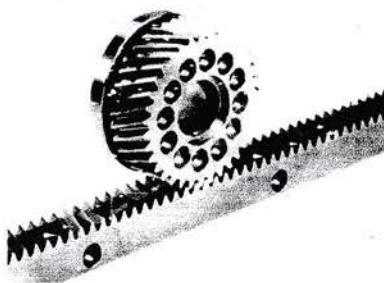
Roda gigi ini dipakai jika diinginkan transmisi dengan ukuran kecil dengan reduksi yang besar, karena ada pinyon yang terletak di dalam roda gigi ini.



Gambar. 2.4. Roda gigi dalam dan pinyon

e. Batang Gigi dan Pinyon

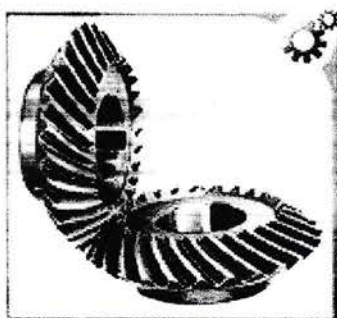
Merupakan dasar propil pahat pembuat gigi. Pasangan antara batang gigi dan pinyon digunakan untuk merubah gerak putar menjadi gerak lurus atau sebaliknya.



Gambar. 2.5. Roda gigi dan pinyon

f. Roda Gigi Kerucut Lurus

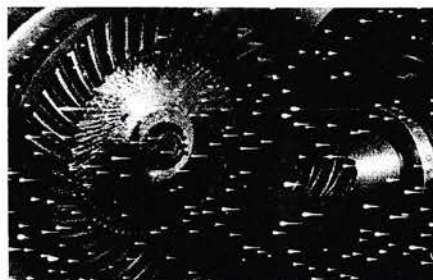
Roda gigi kerucut lurus adalah roda gigi yang paling mudah dan paling sering digunakan / dipakai, tetapi sangat berisik karena perbandingan kontaknya yang kecil. Konstruksinya juga tidak memungkinkan pemasangan bantalan pada kedua ujung porosnya.



Gambar. 2.6. Roda gigi kerucut lurus

g. Roda Gigi Kerucut Spiral

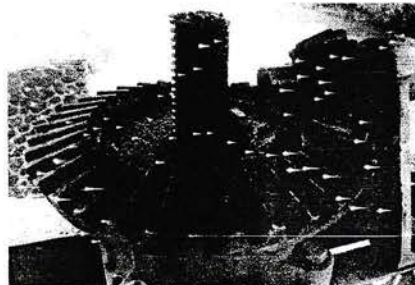
Pada roda gigi ini memiliki perbandingan kontak yang terjadi lebih besar dan dapat meneruskan putaran tinggi dengan beban besar. Sudut poros kedua gigi kerucut ini biasanya dibuat 90° .



Gambar. 2.7. Roda gigi kerucut spiral

h. Roda Gigi Permukaan

Roda gigi ini merupakan roda gigi dengan poros berpotongan yang bagian permukaan giginya rata.



Gambar. 2.8. Roda gigi permukaan

i. *Roda Gigi Miring Silang*

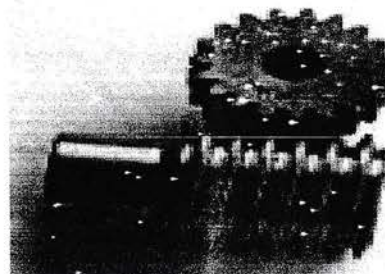
Roda gigi ini mempunyai kemiringan 7^0 sampai 23^0 , digunakan untuk mentransmisikan daya yang lebih besar dari pada roda gigi lurus. Roda gigi ini juga meneruskan putaran dengan perbandingan reduksi yang benar.



Gambar. 2.9. Roda gigi miring silang

j. *Roda Gigi Cacing Silindris*

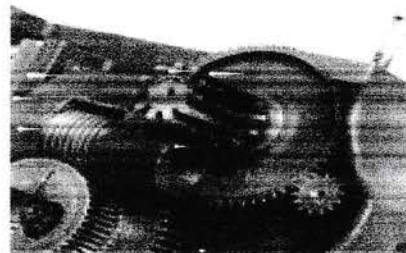
Roda gigi ini membentuk silindris dan lebih umum dipakai. Digunakan untuk mentransmisikan daya dan putaran yang lebih besar tanpa mengurangi dayanya. Kemiringan antara $25^0 - 45^0$, roda gigi ini banyak dipakai pada sistem kemudi.



Gambar. 2.10. Roda gigi cacing silindris

k. *Roda Gigi Cacing Selubung Ganda (Globoid)*

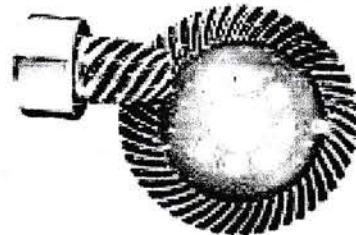
Roda gigi ini digunakan untuk mentransmisikan daya dan putaran pada beban besar dengan perbandingan kontak yang lebih besar pula.



Gambar. 2.11. Roda gigi cacing selubung ganda (*globoid*)

1. *Roda Gigi Hipoid*

Roda gigi ini mempunyai jalur gigi berbentuk spiral pada bidang kerucut yang sumbunya saling bersilangan dan pemindahan gaya pada permukaan gigi berlangsung secara meluncur dan menggelinding. Roda gigi ini dipakai pada deferensial.



Gambar. 2.12. Roda gigi hypoid

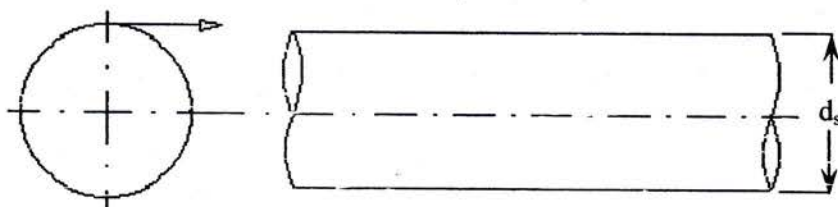
BAB III

PERHITUNGAN UKURAN UTAMA KOPLING

3.1. Poros

Komponen ini merupakan yang terpenting dari beberapa elemen mesin yang biasa dihubungkan dengan putaran dan daya. Poros merupakan komponen stasioner yang berputar, biasanya yang berpenampang bulat yang akan mengalami beban puntir dan lentur atau gabungannya.

Kadang poros ini dapat mengalami tegangan tarik, kelelahan, tumbukan atau pengaruh konsentrasi tegangan yang akan terjadi pada diameter poros yang terkecil atau pada poros yang terpasang alur pasak, hal ini biasanya dilakukan pada penyambungan atau penghubungan antar komponen agar tidak terjadi pergeseran.



Gambar 3.1 Poros

Pada perencanaan ini poros memindahkan Daya (N) sebesar 95 PS dan Putaran (n) sebesar 6000 rpm. Jika daya di berikan dalam daya kuda (PS) maka harus dikalikan 0,735 untuk mendapatkan daya dalam (kW).

$$\text{Daya (N)} = 95 \text{ PS}$$

$$\text{Putaran (n)} = 6000 \text{ rpm}$$

Dimana : $1 \text{ Ps} = 0,735 \text{ kW}$

$$P = 95 \times 0,735 \text{ kW}$$

$$P = 69,825 \text{ kW}$$

Jika P adalah daya nominal output dari motor penggerak, maka faktor keamanan dapat diambil dalam perencanaan. Jika faktor koreksi adalah fc (Tabel 3.1) maka daya rencana P_d (kW) sebagai berikut:

$$P_d = fc \cdot P \quad (\text{kW})$$

Dimana : P_d = Daya rencana

fc = faktor koreksi

P = Daya

Tabel 3.1. Faktor koreksi daya yang akan ditransmisikan (fc)

Daya yang di transmisikan	fc
Daya rata-rata yang diperlukan	1,2 - 2,0
Daya maksimum yang diperlukan	0,8 - 1,2
Daya normal	1,0 - 1,5

Sumber : lit. I hal 7, Dasar Perencanaan dan Pemilihan Elemen Mesin, Sularso dan Kiyokatsu Suga

Faktor koreksi (fc) daya maksimum yang diperlukan 0,8 - 1,2. diambil $fc = 1,0$

Maka daya rencana P_d adalah :

$$\begin{aligned} P_d &= fc \cdot P \\ &= 1,0 \cdot 69,825 \\ &= 69,825 \quad \text{kW} \end{aligned}$$

Jika momen puntir (*torsi*) adalah T ($\text{kg} \cdot \text{mm}$), maka torsi untuk daya maksimum :

$$T = 9,74 \times 10^5 \cdot \frac{P_d}{n} \quad \dots \dots \dots \quad (\text{Lit 1, hal 7})$$

$$T = 9,74 \times 10^5 \cdot \frac{69,825}{6000}$$

$$T = 11334,925 \quad \text{kg} \cdot \text{mm}$$

Tabel 3.2. Standart bahan poros

Standard dan Macam	Lambang	Perlakuan panas	Kekuatan tarik (kg/mm ²)	Keterangan
<i>Baja karbon konstruksi mesin (JIS G 4501)</i>	S30C	<i>Penormalan</i>	48	
	S35C	"	52	
	S40C	"	55	
	S45C	"	58	
	S50C	"	62	
	S55C	"	66	
<i>Batang baja yang difinis dingin</i>	S35C-D	-	53	Ditarik dingin, digerinda, dibubut, atau gabungan antara hal-hal tersebut
	S45C-D	-	60	
	S55C-D	-	72	

Sumber : lit. I hal 3, Dasar Perencanaan dan Pemilihan Elemen Mesin, Sularso dan Kiyokatsu Suga

$$\text{Tegangan geser yang di izinkan } \tau_a = \frac{\sigma_B}{sf_1 \cdot sf_2}$$

dimana :

$$\tau_a = \text{tegangan geser yang diizinkan poros (kg/mm}^2\text{)}$$

$$\sigma_B = \text{kekuatan tarik bahan poros (kg/mm}^2\text{)}$$

$$sf_1 = \text{faktor keamanan akibat pengaruh massa untuk bahan S-C}$$

(baja karbon) diambil 6,0 sesuai dengan standart ASME (lit 1 hal 8)

$$sf_2 = \text{faktor keamanan akibat pengaruh bentuk poros atau daya spline}$$

pada poros, harga sebesar 1,3 - 3,0 maka di ambil 2,5 (lit 1 hal 8)

Bahan poros di pilih baja karbon konstruksi mesin S35C dengan kekuatan tarik $\sigma_B = 52 \text{ kg / mm}^2$

maka :

$$\begin{aligned} \tau_a &= \frac{\sigma_B}{sf_1 \cdot sf_2} \\ &= \frac{52}{6,0 \cdot 2,5} \\ &= 3,47 \text{ kg / mm}^2 \end{aligned}$$

Pertimbangan untuk momen diameter poros :

$$d_s = \left[\frac{5,1}{\tau_a} \cdot K_t \cdot C_b \cdot T \right]^{1/3} \quad \dots \dots \dots \quad (\text{Lit 1, hal 8})$$

dimana :

d_s = diameter poros (mm)

τ_a = tegangan geser yang diizinkan poros (kg/mm^2)

T = momen *torsi* rencana (kg.mm)

C_b = faktor keamanan terhadap beban lentur harganya 1,2 - 2,3

(diambil 1,2).

K_t = faktor bila terjadi kejutan dan tumbukan besar atau kasar 1,5 - 3,0

(diambil 1,5)

maka :

$$d_s = \left[\frac{5,1}{3,47} \cdot 1,5 \cdot 1,2 \cdot 11334,925 \right]^{1/3}$$

= 30,02 mm = 30 mm (sesuai dengan tabel 3.3.)

Tabel 3.3. Diameter poros

4,5	*11,2	28	45	*112	280	450
	12	30		120	300	460
		*31,5	48		*315	480
5	*12,5	32	50	125	320	500
				130	340	530
		35	55			
*5,6	14	*35,5	56	140	*355	560
	(15)			150	360	
6	16	38	60	160	380	600

Sumber : lit. 1 hal 9, Dasar Perencanaan dan Pemilihan Elemen Mesin, Sularso dan Kiyokatsu Suga

- Keterangan :
1. Tanda * menyatakan bahwa bilangan yang bersangkutan dipilih dari bilangan standar.
 2. Bilangan di dalam kurung hanya dipakai untuk bagian dimana akan dipasang bantalan gelinding.

Pada diameter poros di atas 30 mm, maka tegangan geser yang terjadi pada poros adalah :

$$\tau = \frac{5,1 \cdot T}{d_s^3} \quad \dots \dots \dots \quad (\text{Lit 1, hal 7})$$

dimana :

τ = tegangan geser (kg/mm^2)

T = momen *torsi* rencana (kg.mm)

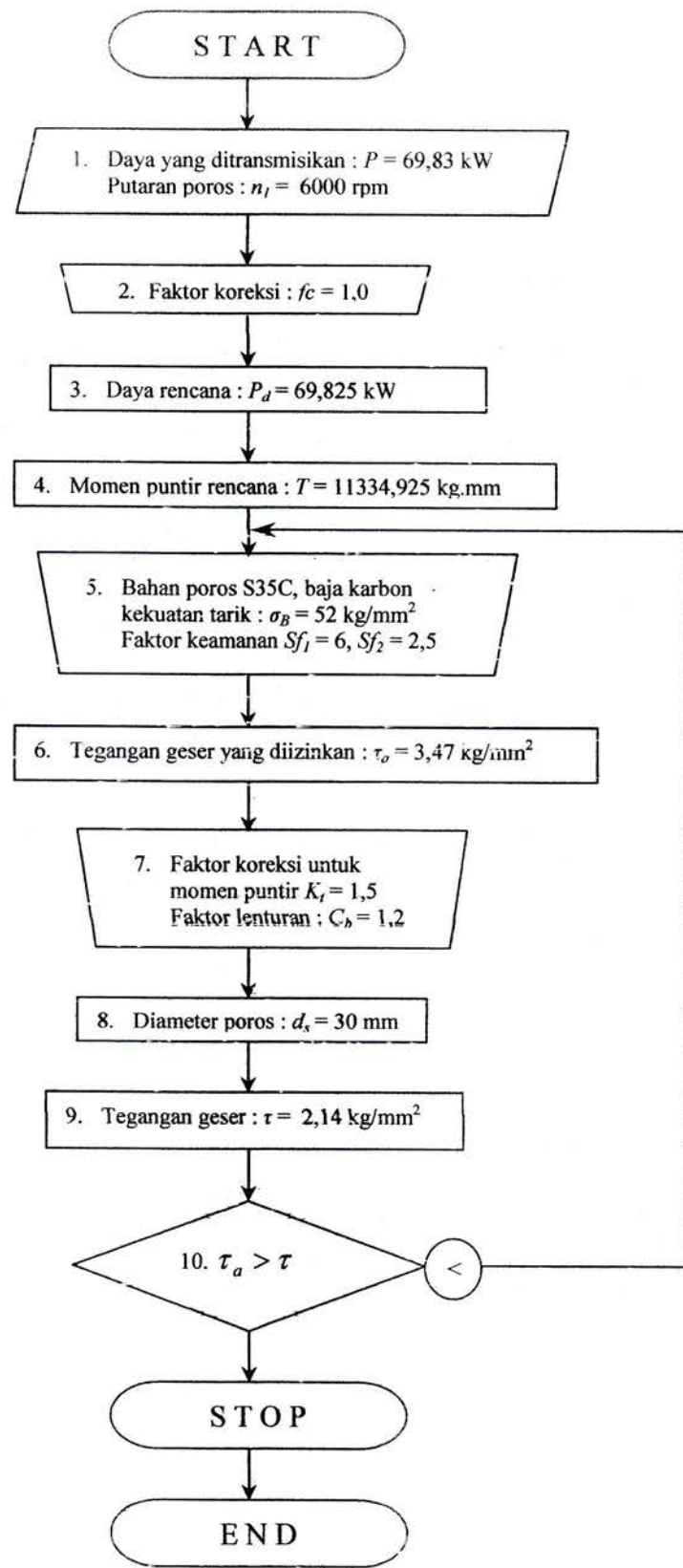
d_s = diameter poros (mm)

maka :

$$\begin{aligned}\tau &= \frac{5,1 \cdot 11334,925}{30^3} \\ &= \frac{103446,11}{54872} \\ &= 2,14 \text{ kg/mm}^2\end{aligned}$$

Berdasarkan perhitungan di atas maka poros tersebut aman di pakai karena tegangan geser yang terjadi lebih kecil dari tegangan geser yang diizinkan yaitu : $2,14 < 3,47 \text{ kg/mm}^2$ (aman).

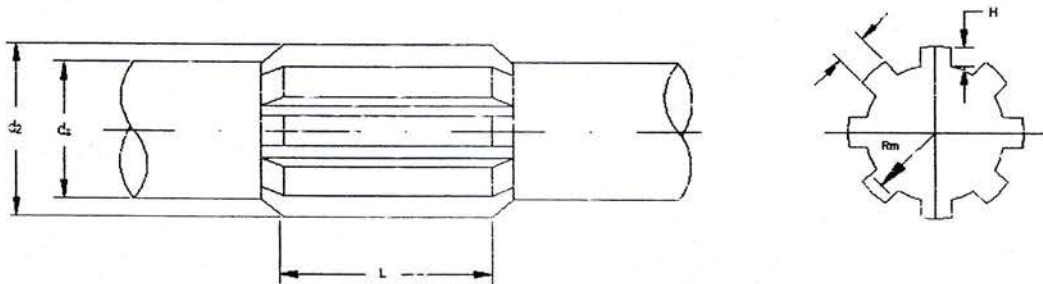
Diagram aliran poros



3.2. Spline dan Naaf

Pada dasarnya fungsi spline adalah sama dengan pasak, yaitu meneruskan daya dan putaran dari poros ke komponen - komponen lain yang terhubung dengannya, ataupun sebaliknya. Perbedaannya adalah spline menyatu atau menjadi bagian dari poros sedangkan pasak merupakan komponen yang terpisah dari poros dan memerlukan alur pada poros untuk pemasangannya.

Selain itu jumlah spline pada suatu konstruksi telah tertentu (berdasarkan standar SAE), sedangkan jumlah pasak ditentukan sendiri oleh perancangnya. Hal ini menyebabkan pemakaian spline lebih menguntungkan dilihat dari segi penggunaannya karena sambungannya lebih kuat dan beban puntirnya merata diseluruh bagian poros dibandingkan dengan pasak yang menimbulkan konsentrasi tegangan pada daerah dimana pasak dipasang.



Gambar 3.2 Spline

Pada perhitungan ini telah diperoleh ukuran diameter porosnya (d_s) sebesar (30 mm) bahan yang digunakan yaitu S35C dengan kekuatan tarik 52 kg/mm^2 , untuk spline pada kendaraan dapat diambil menurut DIN 5462 sampai 5464. Dalam perencanaan ini diambil DIN 5463 untuk beban menengah. Seperti yang terdapat pada tabel dibawah ini :

Tabel 3.4. DIN 5462 – DIN 5464

Diameter dalam	Ringan DIN 5462			Menengah DIN 5463			Berat DIN 5464		
	Banyaknya Baji			Banyaknya Baji			Banyaknya Baji		
d1 (mm)	(1)	d2 (mm)	b (mm)	(1)	d2 (mm)	b (mm)	(1)	d2 (mm)	b (mm)
11	-	-	-	6	14	3	-	-	-
13	-	-	-	6	16	3,5	-	-	-
16	-	-	-	6	20	4	10	20	2,5
18	-	-	-	6	22	5	10	23	3
21	-	-	-	6	25	5	10	26	3
23	6	26	6	6	28	6	10	29	4
26	6	30	6	6	32	6	10	32	4
28	6	32	7	6	34	7	10	35	4
32	8	36	6	8	38	6	10	40	5
36	8	40	7	8	42	7	10	45	5
42	8	46	8	8	48	8	10	52	6
46	8	50	9	8	54	9	10	56	7

Diameter maksimum (diambil $d_s = 30 \text{ mm}$)

Dimana :

$$d_s = 0,81 \cdot d_2$$

$$d_2 = \frac{d_s}{0,81}$$

$$d_2 = \frac{30}{0,81} = 37,04 \text{ mm} = 38 \text{ mm}$$

Spline yang direncanakan atau ketentuan ukurannya (dari tabel 3.4.) antara lain :

Jumlah (i) = 8 buah

Lebar (b) = 6 mm

Diameter luar (d₂) = 38 mm

3.2.1. Perhitungan Spline dan Naaf

$$\begin{aligned} \text{Tinggi (H)} &= \frac{d_2 - d_s}{2} \\ &= \frac{38 - 30}{2} = 4 \text{ mm} \end{aligned}$$

$$\begin{aligned}
 \text{Panjang (L)} &= \frac{d_2^3}{d_s^2} \\
 &= \frac{(38)^3}{(30)^2} = 60,97 \text{ mm} \\
 \text{Jari - jari (Rm)} &= \frac{d_2 + d_s}{4} \\
 &= \frac{38 + 30}{4} = 17 \text{ mm} \\
 \text{Jarak antara spline (w)} &= 0,5 \cdot d_2 \\
 &= 0,5 \cdot 38 \text{ mm} = 19 \text{ mm}
 \end{aligned}$$

Besar gaya yang bekerja pada Spline :

$$F = \frac{T}{Rm}$$

dimana :

F = gaya yang bekerja pada spline (kg)

T = momen puntir yang bekerja pada poros sebesar 11334,925 kg.mm

Rm = jari - jari spline (mm)

$$\begin{aligned}
 \text{maka : } F &= \frac{11334,925}{17} \\
 &= 666,76 \text{ kg}
 \end{aligned}$$

Tegangan geser pada poros spline adalah :

$$\tau_g = \frac{F}{i \cdot w \cdot L}$$

dimana : τ_g = tegangan geser yang terjadi pada spline (kg/mm^2)

F = gaya yang bekerja pada spline (kg)

i = jumlah gigi spline

w = jarak antar spline (mm)

L = panjang spline (mm)

maka : $\tau_g = \frac{666,76}{8 \cdot 19 \cdot 60,97}$

$$= 0,072 \text{ kg / mm}^2$$

Sedangkan tegangan tumbuk yang terjadi adalah :

$$P = \frac{F}{t \cdot H \cdot L}$$
$$= \frac{666,76}{8 \cdot 4 \cdot 60,97} = 0,342 \text{ kg / mm}^2$$

Kekuatan tarik dari bahan yang direncanakan adalah 52 kg/mm^2 dengan faktor keamanan untuk pembebanan dinamis ($8 - 10$) diambil 10 untuk meredam getaran yang terjadi.

Tegangan geser yang diizinkan :

$$\tau_{gi} = 0,8 \cdot \sigma_{trk}$$

dimana :

$$\sigma_{trk} = \frac{52}{10} = 5,2 \text{ kg / mm}^2$$

maka :

$$\tau_{gi} = 0,8 \cdot 5,2 = 4,16 \text{ kg / mm}^2$$

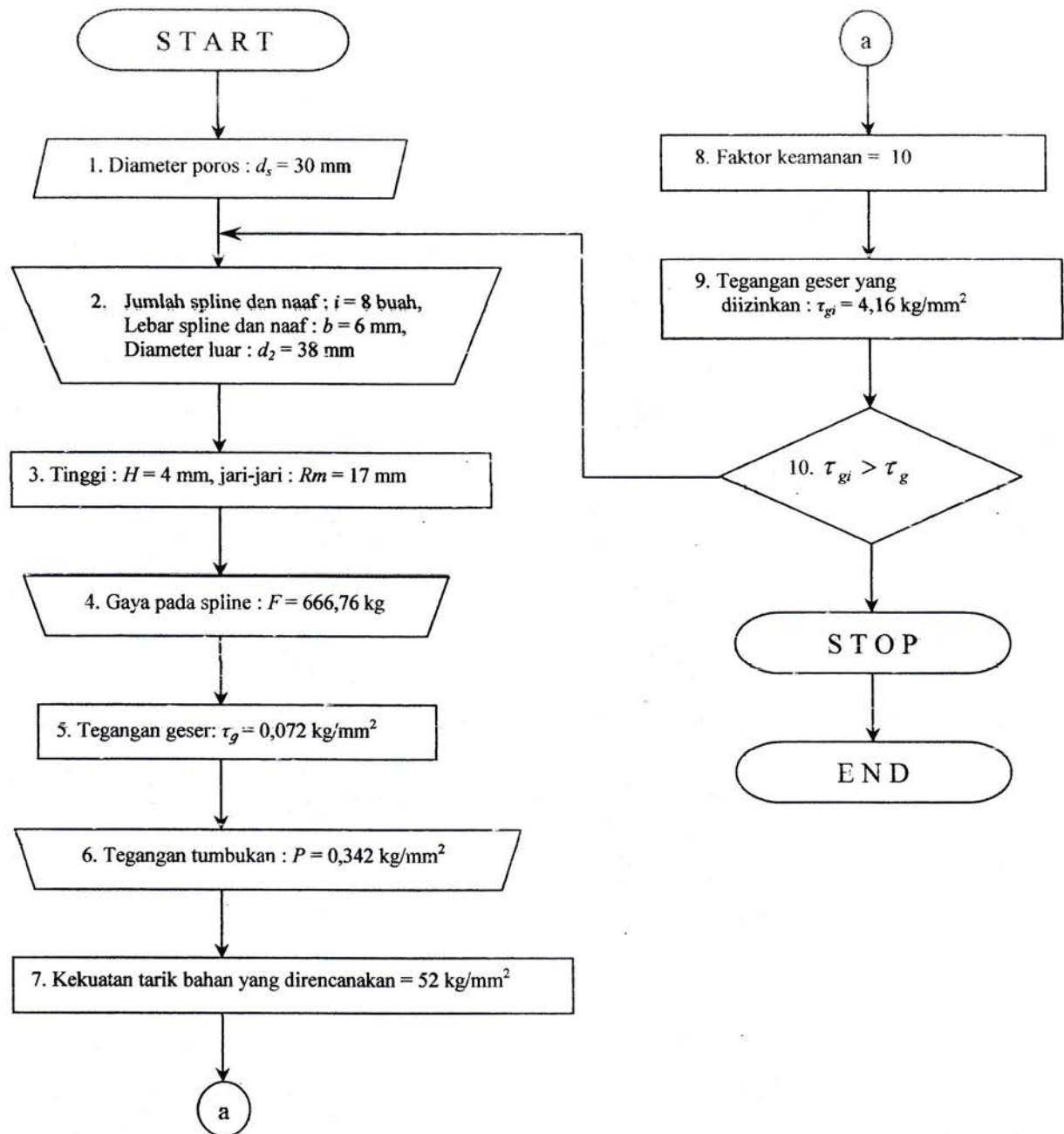
Maka spline dan naaf aman terhadap tegangan geser yang terjadi. Dimana dapat dibuktikan :

$$\tau_{gi} \geq \tau_g$$

$$4,16 \geq 0,072$$

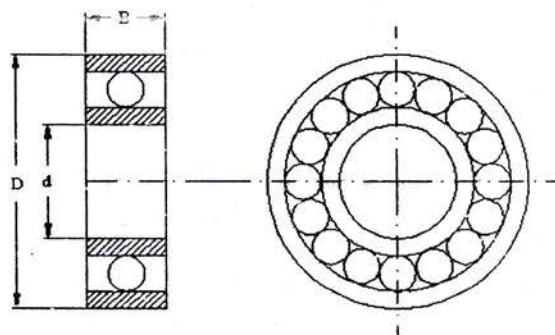
Tegangan geser yang terjadi lebih kecil dari tegangan geser yang diizinkan

Diagram aliran spline dan naaf



3.3. Bantalan

Bantalan adalah elemen mesin yang menampung poros yang berbeban sehingga putaran dan getaran bolak-balik dapat berputar secara halus, dan tahan lama. Bantalan harus kokoh untuk memungkinkan poros serta elemen mesinnya bekerja dengan baik, jika bantalan tidak berfungsi dengan baik maka prestasi seluruh sistem akan menurun atau tidak berkerja semestinya.



Gambar 3.3 Bantalan

Momen yang ditransmisikan dari poros $T = 11334,925 \text{ kg} \cdot \text{mm}$ dan putaran (n) = 6000 rpm.

Tabel 3.5. Bantalan Bola

Nomor Bantalan			Ukuran luar (mm)				Kapasitas nominal dinamis spesifik C (kg)	Kapasitas nominal statis C_o (kg)
Jenis terbuka	Dua sekat	Dua sekat tanpa kontak	d	D	B	r		
6000			10	26	8	0,5	360	196
6001	6001ZZ	6001VV	12	28	8	0,5	400	229
6002	6002ZZ	6002VV	15	32	9	0,5	440	263
6003	6003ZZ	6003VV	17	35	10	0,5	470	296
6004	6004ZZ	6004VV	20	42	12	1	735	465
6005	6005ZZ	6005VV	25	47	12	1	790	530
6006	6006ZZ	6006VV	30	55	13	1,5	1030	740
6007	6007ZZ	6007VV	35	62	14	1,5	1250	915
6008	6008ZZ	6008VV	40	68	15	1,5	1310	1010
6009	6009ZZ	6009VV	45	75	16	1,5	1640	1320
6010	6010ZZ	6010VV	50	80	16	1,5	1710	1430

Sumber : lit. 1 hal 143, Dasar Perencanaan dan Pemilihan Elemen Mesin, Sularso dan Kiyokatsu Suga

Pada perhitungan ini telah diperoleh ukuran diameter porosnya (d_s) sebesar (30 mm). Berdasarkan dari tabel 3.7. di atas maka ukuran-ukuran dari bantalan dapat ditentukan sebagai berikut :

Nomor bantalan 6006,

Diameter bantalan : $D = 55 \text{ mm}$

Lebar bantalan : $B = 13 \text{ mm}$

Kapasitas nominal dinamis spesifik : $C = 1030 \text{ kg}$

Kapasitas nominal statis spesifik : $C_o = 740 \text{ kg}$

Untuk bantalan bola alur dalam $\frac{F_a}{C_o} = 0,014$ (direncanakan) dari tabel 3.8. di bawah ini :

Tabel 3.6. Faktor-faktor V, X, Y dan X_0 , Y_0

Jenis bantalan	F_a/C_o	Beban putar pd putar pd cincin dalam		Beban putar pd putar pd cincin luar		Baris tunggal		Baris ganda		e	Baris tunggal		Baris ganda		
						$F_a/VF_r > e$		$F_a/VF_r \leq e$			$F_a/VF_r > e$				
		V				X	Y	X	Y		X	Y	X_0	Y_0	
Bantalan bola alur dalam	$F_a/C_o = 0,014$					2,30			2,30	0,19					
	= 0,028					1,99			1,99	0,22					
	= 0,056					1,71			1,71	0,26					
	= 0,084					1,55			1,55	0,28					
	= 0,11	1	1,2	0,56		1,45	1	0	0,56	0,30	0,6	0,5	0,6	0,5	
	= 0,17					1,31			1,31	0,34					
	= 0,28					1,15			1,15	0,38					
	= 0,42					1,04			1,04	0,42					
	= 0,56					1,00			1,00	0,44					
Bantalan bola sudut	$\alpha = 20^\circ$					0,43	1,00		1,09	0,70	1,63	0,57	0,42	0,84	
	= 25°					0,41	0,87	1	0,92	0,67	1,41	0,68	0,38	0,76	
	= 30°	1	1,2	0,39	0,76	0,39	0,76	1	0,78	0,63	1,24	0,80	0,5	0,66	
	= 35°			0,37	0,66	0,37	0,66		0,66	0,60	1,07	0,95	0,29	0,58	
	= 40°			0,35	0,57	0,35	0,57		0,55	0,57	0,93	1,14	0,26	0,52	

Sumber : lit. I hal 135, Dasar Perencanaan dan Pemilihan Elemen Mesin, Sularso dan Kiyokatsu Suga

Beban aksial bantalan F_a :

$$\begin{aligned}F_a &= C_o \cdot 0,014 \\&= 740 \cdot 0,014 = 10,36 \text{ kg}\end{aligned}$$

Dari tabel di atas juga dapat diketahui harga beban radial F_r dengan menggunakan persamaan :

$$\frac{F_a}{v \cdot F_r} > e$$

dimana : v = beban putar pada cincin dalam

$$e = 0,19$$

maka :

$$\begin{aligned}F_r &= \frac{F_a}{v \cdot e} \\&= \frac{10,36}{1 \cdot 0,19} = 54,53 \text{ kg}\end{aligned}$$

Dengan demikian beban ekivalen dinamis P dapat diketahui melalui persamaan di bawah ini :

$$P = X \cdot F_r + Y \cdot F_a$$

dimana : P = beban ekivalen (kg)

F_r = beban radial (kg)

F_a = beban aksial (kg)

X, Y = harga - harga baris tunggal yang terdapat dalam tabel 3.8. di atas

maka :

$$\begin{aligned}P &= 0,56 \cdot 54,53 + 2,30 \cdot 10,36 \\&= 54,37 \text{ kg}\end{aligned}$$

Jika C (kg) menyatakan beban nominal dinamis spesifik dan P (kg) beban ekivalen dinamis, maka faktor kecepatan f_n bantalan adalah :

$$\begin{aligned}f_n &= \left(\frac{33,3}{n} \right)^{1/3} \\f_n &= \left(\frac{33,3}{6000} \right)^{1/3} = 0,177\end{aligned}$$

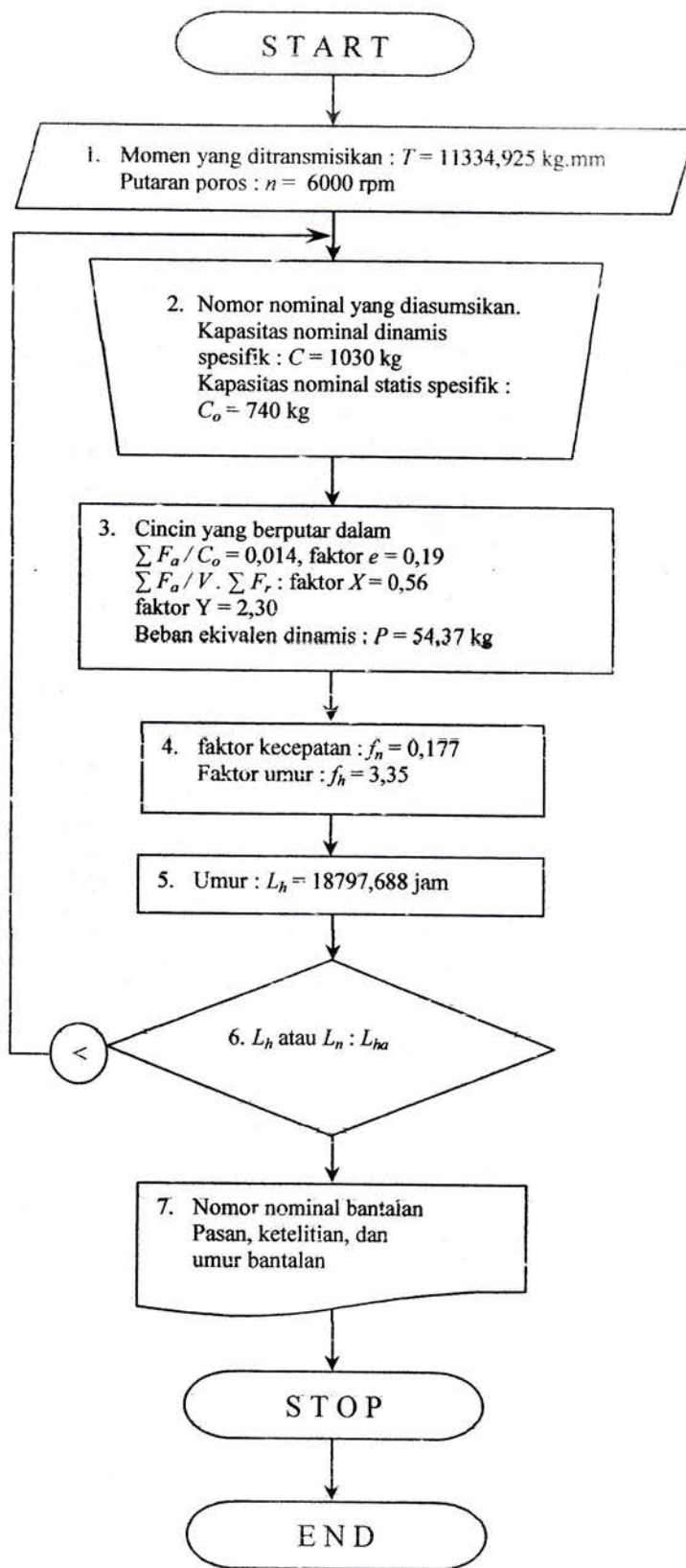
Faktor umur bantalan f_h :

$$\begin{aligned}f_h &= f_n \cdot \frac{C}{P} \\&= 0,177 \cdot \frac{1030}{54,37} = 3,35\end{aligned}$$

Umur nominal dari bantalan L_h :

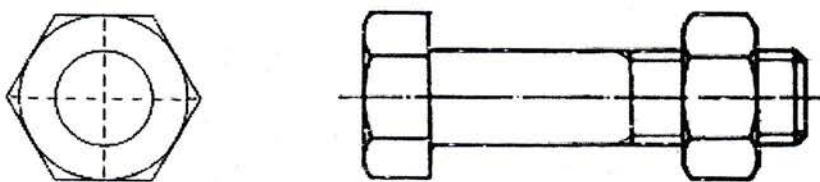
$$\begin{aligned}L_h &= 500 \cdot (f_h)^3 \\&= 500 \cdot (3,35)^3 = 18797,688 \text{ jam}\end{aligned}$$

Diagram aliran bantalan gelinding



3.4. Baut dan Mur

Baut dan mur merupakan alat pengikat yang sangat penting untuk mencegah kecelakaan atau kerusakan pada mesin. Pemilihan baut dan mur sebagai alat pengikat harus dilakukan dengan seksama untuk mendapatkan ukuran yang sesuai. Di dalam perencanaan kopling ini. Baut dan mur berfungsi sebagai pengikat gear box. Untuk menentukan ukuran baut dan mur, berbagai faktor harus diperhatikan seperti sifat gaya yang bekerja pada baut, syarat kerja, kekuatan bahan, kelas ketelitian, dan lain-lain.



Gambar 3.4 Baut dan Mur

Beban yang diterima baut merupakan beban yang diterima bantalan

$$W = P \text{ pada bantalan} = 54,37 \text{ kg}$$

Faktor koreksi (fc) = 1,2

Maka beban rencana W_d :

$$W_d = fc \cdot W$$

$$W_d = 1,2 \cdot 54,37$$

$$= 65,244 \text{ kg}$$

Bahan baut dipakai baja liat dengan kadar karbon 0,22 %

Kekuatan tarik : $\sigma_B = 42 \text{ kg/mm}^2$

Faktor keamanan : $S_f = 7$ dengan tegangan yang di izinkan $\sigma_a = 6 \text{ kg/mm}^2$
(difinis tinggi)

Diameter inti yang diperlukan

$$d_1 \geq \sqrt{\frac{4 \cdot W_d}{\pi \cdot \sigma_a}}$$

$$d_1 \geq \sqrt{\frac{4 \cdot 65,244}{3,14 \cdot 6}}$$

$$d_1 \geq 3,72 \text{ mm}$$

Tabel 3.7. Ukuran standar ulir kasar metris

Ulir			Jarak bagi <i>p</i>	Tinggi kaitan <i>H₁</i>	Ulir dalam				
1	2	3			Diameter luar <i>D</i>	Diameter efektif <i>D₂</i>	Diameter dalam <i>D₁</i>		
					Ulir luar				
M 6	M 7	1	M 9	0,541	6,000	5,350	4,917		
		1		0,541	7,000	6,350	5,917		
		1,25		0,677	8,000	7,188	6,647		
M 10	M 11	1,25	M 14	0,677	9,000	8,188	7,647		
		1,5		0,812	10,000	9,026	8,376		
		1,5		0,812	11,000	10,026	9,376		
M 12	M 18	1,75	M 20	0,947	12,000	10,863	10,106		
M 16		2		1,083	14,000	12,701	11,835		
M 24	M 27	2		1,083	16,000	14,701	13,835		
		2,5	M 22	1,353	18,000	16,376	15,294		
		2,5		1,353	20,000	18,376	17,294		
M 30	M 33	2,5		1,353	22,000	20,376	19,294		
		3	M 36	1,624	24,000	22,051	20,752		
		3		1,624	27,000	25,051	23,752		
M 36	M 39	3,5		1,894	30,000	27,727	26,211		
		3,5	M 39	1,894	33,000	30,727	29,211		
		4		2,165	36,000	34,402	31,670		
		4		2,165	39,000	36,402	34,670		

Sumber : lit. I hal 290, Dasar Perencanaan dan Pemilihan Elemen Mesin, Sularso dan Kiyokatsu Suga

Dipilih ulir metris kasar diameter inti $d_1 = 4,917 \text{ mm} > 3,72 \text{ mm}$ dari tabel 3.9. di atas.

Maka pemilihan ulir standar ulir luar

$$\text{diameter luar} \quad d = 6 \text{ mm}$$

$$\text{diameter inti} \quad d_1 = 4,917 \text{ mm}$$

$$\text{jarak bagi} \quad p = 1 \text{ mm}$$

Tegangan geser yang diizinkan

$$\tau_a = (0,5 - 0,75) \cdot \sigma_a \rightarrow \text{diambil } 0,5$$

maka :

$$\tau_a = 0,5 \cdot 6 = 3 \text{ kg/mm}^2$$

dengan tekanan permukaan yang diizinkan $q_a = 3 \text{ kg/mm}^2$

$$\text{Diameter luar ulir dalam} \quad D = 6 \text{ mm}$$

$$\text{Diameter efektif ulir dalam} \quad D_2 = 5,350 \text{ mm}$$

$$\text{Tinggi kaitan gigi dalam} \quad H_1 = 0,541 \text{ mm}$$

Jumlah ulir mur yang diperlukan

$$z \geq \frac{W_d}{\pi \cdot D_2 \cdot H_1 \cdot q_a}$$

$$z \geq \frac{65,244}{3,14 \cdot 5,350 \cdot 0,541 \cdot 3}$$

$$z \geq 2,39 \rightarrow 3$$

Tinggi mur

$$H = z \cdot p$$

$$H = 3 \cdot 1 = 3 \text{ mm}$$

Jumlah ulir mur

$$z' = \frac{H}{p}$$

$$z' = \frac{3}{1} = 3$$

Tegangan geser akar ulir baut

$$\tau_b = \frac{W_d}{\pi \cdot d_1 \cdot k \cdot p \cdot z} \quad (\text{dimana } k = 0,84)$$

$$\tau_b = \frac{65,244}{3,14 \cdot 4,917 \cdot 0,84 \cdot 1 \cdot 3} = 1,68 \text{ kg/mm}^2$$

Tegangan geser akar ulir mur

$$\tau_n = \frac{W_d}{\pi \cdot D \cdot j \cdot p \cdot z} \quad (\text{dimana } j = 0,75)$$

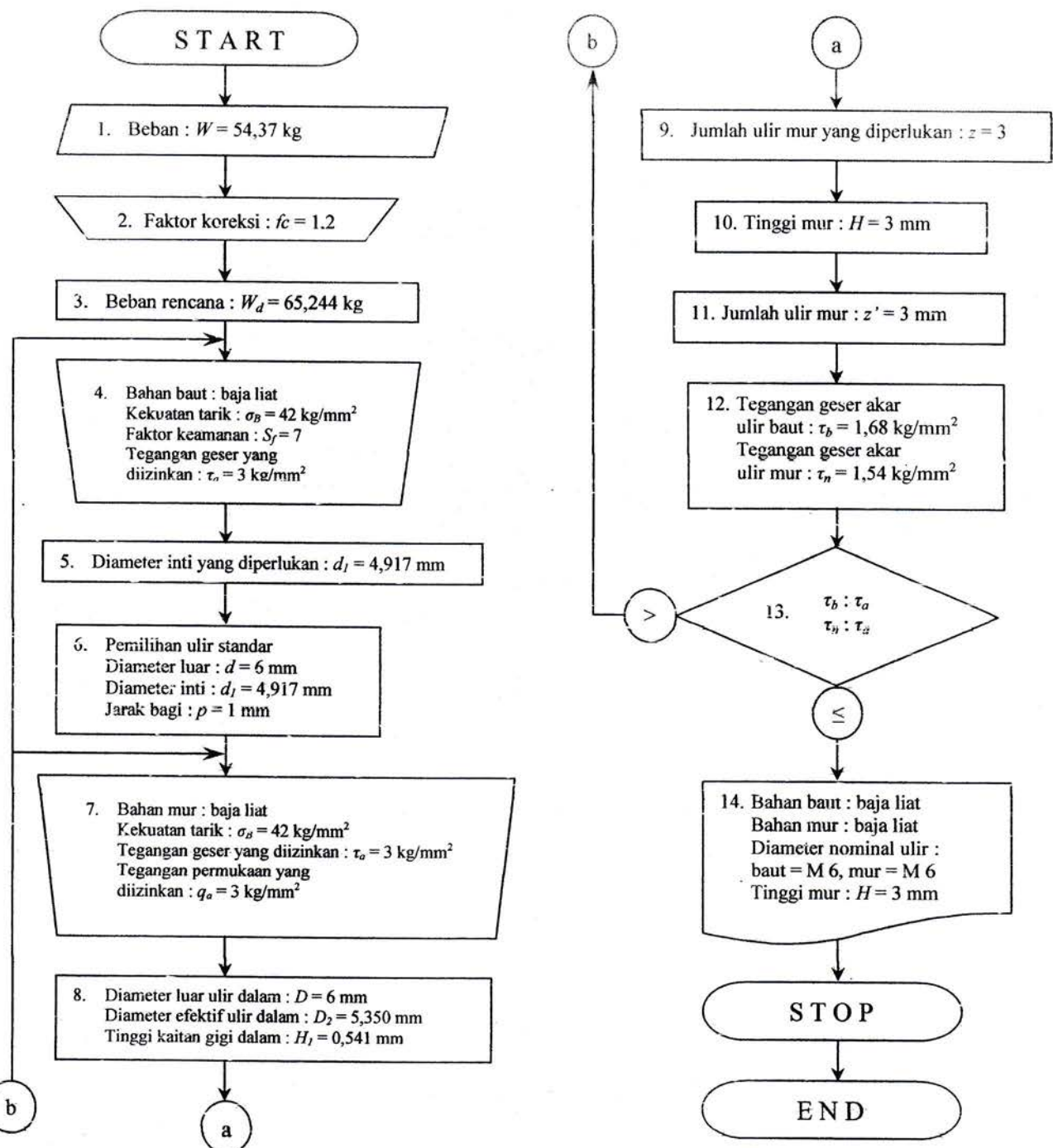
$$\tau_n = \frac{65,244}{3,14 \cdot 6 \cdot 0,75 \cdot 1 \cdot 3} = 1,54 \text{ kg/mm}^2$$

Tegangan geser akar ulir baut (τ_b) dan tegangan geser akar ulir mur (τ_n) lebih kecil dari tegangan geser yang diizinkan (τ_a), maka baut dan mur yang direncanakan aman terhadap tegangan geser.

Bahan baut dan mur baja liat dengan kadar karbon 0,22 %.

Diameter nominal ulir : Baut = M 6, Mur = M 6, tinggi mur = 3 mm.

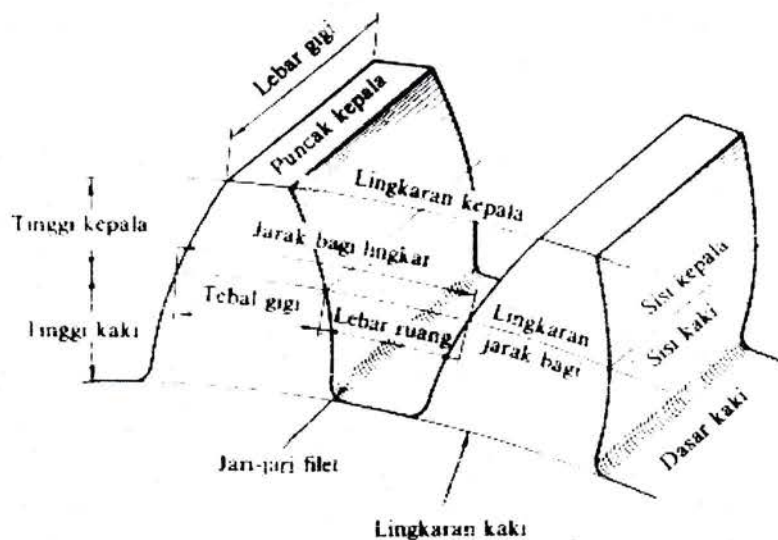
Diagram aliran baut dan mur



BAB IV

PERENCANAAN RODA GIGI

4.1. Perencanaan Roda Gigi



Gambar. 4.1. Nama-nama bagian roda gigi

Roda gigi transmisi yang direncanakan adalah :

Daya (N) = 95 PS

Putaran (n) = 6000 rpm

Pemindahan daya dan putaran direncanakan dengan transmisi roda gigi secara bertingkat dengan perbandingan gigi sebagai berikut :

PERBANDINGAN GIGI	I	3,509
	II	2,043
	III	1,407
	IV	1,054
	V	0,815
	R	3,250

Tabel 4.1. Faktor bentuk gigi

Jumlah gigi z	Y	Jumlah gigi z	Y	Jumlah gigi z	Y
10	0,201	19	0,314	43	0,396
11	0,226	20	0,320	50	0,408
12	0,245	21	0,327	60	0,421
13	0,261	23	0,333	75	0,434
14	0,276	25	0,339	100	0,446
15	0,289	27	0,349	150	0,459
16	0,295	30	0,358	300	0,471
17	0,302	34	0,371	Batang gigi	0,484
18	0,308	38	0,383		

Tabel 4.2. Faktor dinamis f_v

Kecepatan Rendah	$v = 0,5 - 10 \text{ m/s}$	$f_v = \frac{3}{3 + v}$
Kecepatan Sedang	$v = 5 - 20 \text{ m/s}$	$f_v = \frac{5}{6 + v}$
Kecepatan	$v = 20 - 50 \text{ m/s}$	$f_v = \frac{5,5}{5,5 + \sqrt{v}}$

Sumber : lit. I hal 240, Dasar Perencanaan dan Pemilihan Elemen Mesin, Sularso dan Kiyokatsu Suga

4.2. Perhitungan Roda Gigi Kecepatan Satu

Diketahui : $P = 95 \text{ PS} = 69,825 \text{ kW}$

$n_1 = 6000 \text{ rpm}$

$i = 3,509$ (Perbandingan gigi, berdasarkan spesifikasi)

Faktor koreksi (fc) daya maksimum yang diperlukan 0,8 - 1,2, diambil $fc = 1,1$

Daya rencana P_d :

$$\begin{aligned}P_d &= fc \cdot P \\&= 1,1 \cdot 69,825 = 76,81 \text{ kW}\end{aligned}$$

Diameter sementara lingkaran jarak bagi :

$$d_1 = \frac{2 \cdot 200}{1+i} \quad \dots \dots \dots \quad (\text{Lit 1, hal 216})$$

$$d_1 = \frac{2 \cdot 200}{1+3,509} = 88,71 \text{ mm}$$

$$d_2 = \frac{2 \cdot 200 \cdot i}{1+i} \quad \dots \dots \dots \quad (\text{Lit 1, hal 216})$$

$$d_2 = \frac{2 \cdot 200 \cdot 3,509}{1+3,509} = 311,28 \text{ mm}$$

Modul pahat $m = 6$

Jumlah gigi :

$$m = \frac{d}{z} \Rightarrow z = \frac{d}{m} \quad \dots \dots \dots \quad (\text{Lit 1, hal 214})$$

$$z_1 = \frac{d_1}{m} = \frac{88,71}{6} = 14,785 \approx 15$$

$$z_2 = \frac{d_2}{m} = \frac{311,28}{6} = 51,88 \approx 52$$

Perbandingan gigi :

$$i = \frac{z_2}{z_1} \quad \dots \dots \dots \quad (\text{Lit 1, hal 216})$$

$$i = \frac{52}{15} = 3,47$$

Diameter lingkaran jarak bagi (roda gigi standar) :

$$\begin{aligned}d_{01} &= z_1 \cdot m \\&= 15 \cdot 6 = 90 \text{ mm}\end{aligned}$$
$$\begin{aligned}d_{02} &= z_2 \cdot m \\&= 52 \cdot 6 = 312 \text{ mm}\end{aligned}$$

Jarak sumbu poros :

$$\begin{aligned}a_0 &= \frac{d_{01} + d_{02}}{2} \\&= \frac{90 + 312}{2} = 201 \text{ mm}\end{aligned}$$

Kelonggaran puncak :

$$\begin{aligned}C_k &= 0,25 \cdot m \\&= 0,25 \cdot 6 = 1,5\end{aligned}$$

Diameter kepala :

$$\begin{aligned}d_{k1} &= (z_1 + 2) \cdot m = (15 + 2) \cdot 6 = 102 \text{ mm} \\d_{k2} &= (z_2 + 2) \cdot m = (52 + 2) \cdot 6 = 324 \text{ mm}\end{aligned}$$

Diameter kaki :

$$\begin{aligned}d_{f1} &= (z_1 - 2) \cdot m - 2 \cdot C_k \\&= (15 - 2) \cdot 6 - 2 \cdot 1,5 = 75 \text{ mm} \\d_{f2} &= (z_2 - 2) \cdot m - 2 \cdot C_k \\&= (52 - 2) \cdot 6 - 2 \cdot 1,5 = 297 \text{ mm}\end{aligned}$$

Kedalaman pemotongan :

$$\begin{aligned}H &= 2 \cdot m + C_k \\&= 2 \cdot 6 + 1,5 = 13,5 \text{ mm}\end{aligned}$$

Faktor bentuk gigi, dari Tabel 3.5.

$$z_1 = 15 \rightarrow Y_1 = 0,289$$

$$z_2 = 52 \rightarrow Y_2 = 0,408 + \left[\frac{52 - 50}{60 - 50} \cdot (0,421 - 0,408) \right]$$

$$Y_2 = 0,410$$

Kecepatan keliling :

$$v = \frac{\pi \cdot d_{01} \cdot n}{60 \cdot 1000} \quad \dots \dots \dots \quad (\text{Lit 1, hal 238})$$

$$v = \frac{3,14 \cdot 90 \cdot 6000}{60 \cdot 1000} = 28,26 \text{ m/s}$$

Gaya tangensial :

$$F_t = \frac{102 \cdot Pd}{v} \quad \dots \dots \dots \quad (\text{Lit 1, hal 238})$$

$$F_t = \frac{102 \cdot 76,81}{28,26} = 277,23 \text{ kg}$$

Faktor dinamis :

$$f_v = \frac{5,5}{5,5 + \sqrt{v}}$$

$$f_v = \frac{5,5}{5,5 + \sqrt{28,26}} = 0,508$$

Bahan masing – masing gigi perlakuan panas :

Pinyon S 35 C :

Kekuatan tarik $\sigma_{B1} = 52 \text{ kg/mm}^2$

Kekerasan permukaan gigi $H_{B1} = 187$ (rata-rata)

Roda gigi besar FC 20 :

Kekuatan tarik $\sigma_{B2} = 20 \text{ kg/mm}^2$

Kekerasan permukaan gigi $H_{B2} = 170$ (rata-rata)

Tegangan lentur yang diizinkan :

$$S\ 35\ C : \sigma_{a1} = 26\ kg/mm^2$$

$$FC\ 20 : \sigma_{a2} = 9\ kg/mm^2$$

Faktor tegangan kontak antara baja karbon kekerasan 200 H_B dengan besi cor maka,
 $K_H = 0,079\ kg/mm^2$.

Beban lentur yang diizinkan persatuan lebar :

$$F_b = \sigma_a \cdot m \cdot Y \cdot f_v \quad \dots \dots \dots \quad (\text{Lit 1, hal 240})$$

$$\begin{aligned} F'_{b1} &= \sigma_{a1} \cdot m \cdot Y_1 \cdot f_v \\ &= 26 \cdot 6 \cdot 0,289 \cdot 0,508 \\ &= 22,9\ kg/mm \\ F'_{b2} &= \sigma_{a2} \cdot m \cdot Y_2 \cdot f_v \\ &= 9 \cdot 6 \cdot 0,410 \cdot 0,508 \\ &= 11,25\ kg/mm \end{aligned}$$

Beban permukaan yang diizinkan persatuan lebar :

$$F'_{H} = f_v \cdot k_H \cdot d_{01} \cdot \frac{2 \cdot z_2}{z_1 + z_2} \quad \dots \dots \dots \quad (\text{Lit 1, hal 244})$$

$$\begin{aligned} F'_{H} &= 0,508 \cdot 0,079 \cdot 90 \cdot \frac{2 \cdot 52}{15 + 52} \\ &= 5,61\ kg/mm \end{aligned}$$

Harga minimum $F'_{\min} = 5,61\ kg/mm$ dari F'_{H}

4.3. Perhitungan Roda Gigi Kecepatan Dua

Diketahui : $P = 95 \text{ PS} = 69,825 \text{ kW}$

$n_1 = 6000 \text{ rpm}$

$i = 2,043$ (Perbandingan gigi, berdasarkan spesifikasi)

Faktor koreksi (fc) daya maksimum yang diperlukan 0,8 - 1,2. diambil $fc = 1,1$

Daya rencana P_d :

$$\begin{aligned} P_d &= fc \cdot P \\ &= 1,1 \cdot 69,825 = 76,81 \text{ kW} \end{aligned}$$

Diameter sementara lingkaran jarak bagi :

$$\begin{aligned} d_1 &= \frac{2 \cdot 200}{1 + i} \\ d_1 &= \frac{2 \cdot 200}{1 + 2,043} = 131,45 \text{ mm} \end{aligned}$$

$$\begin{aligned} d_2 &= \frac{2 \cdot 200 \cdot i}{1 + i} \\ d_2 &= \frac{2 \cdot 200 \cdot 2,043}{1 + 2,043} = 268,55 \text{ mm} \end{aligned}$$

Modul pahat $m = 6$

Jumlah gigi :

$$\begin{aligned} m &= \frac{d}{z} \Rightarrow z = \frac{d}{m} \\ z_1 &= \frac{d_1}{m} = \frac{131,45}{6} = 21,91 \approx 22 \\ z_2 &= \frac{d_2}{m} = \frac{268,55}{6} = 44,76 \approx 45 \end{aligned}$$

Perbandingan gigi :

$$i = \frac{z_2}{z_1}$$

$$i = \frac{45}{22} = 2,045$$

Diameter lingkaran jarak bagi (roda gigi standar) :

$$\begin{aligned}d_{01} &= z_1 \cdot m \\&= 22 \cdot 6 = 132 \text{ mm}\end{aligned}$$

$$\begin{aligned}d_{02} &= z_2 \cdot m \\&= 45 \cdot 6 = 270 \text{ mm}\end{aligned}$$

Jarak sumbu poros :

$$\begin{aligned}a_0 &= \frac{d_{01} + d_{02}}{2} \\&= \frac{132 + 270}{2} = 201 \text{ mm}\end{aligned}$$

Kelonggaran puncak :

$$\begin{aligned}C_k &= 0,25 \cdot m \\&= 0,25 \cdot 6 = 1,5\end{aligned}$$

Diameter kepala :

$$\begin{aligned}d_{k1} &= (z_1 + 2) \cdot m = (22 + 2) \cdot 6 = 144 \text{ mm} \\d_{k2} &= (z_2 + 2) \cdot m = (45 + 2) \cdot 6 = 282 \text{ mm}\end{aligned}$$

Diameter kaki :

$$\begin{aligned} d_{f1} &= (z_1 - 2) \cdot m - 2 \cdot C_k \\ &= (22 - 2) \cdot 6 - 2 \cdot 1,5 = 117 \text{ mm} \\ d_{f2} &= (z_2 - 2) \cdot m - 2 \cdot C_k \\ &= (45 - 2) \cdot 6 - 2 \cdot 1,5 = 255 \text{ mm} \end{aligned}$$

Kedalaman pemotongan :

$$\begin{aligned} H &= 2 \cdot m + C_k \\ &= 2 \cdot 6 + 1,5 = 13,5 \text{ mm} \end{aligned}$$

Faktor bentuk gigi, dari Tabel 3.5.

$$\begin{aligned} z_1 = 22 \quad \rightarrow \quad Y_1 &= 0,327 + \left[\frac{22 - 21}{23 - 21} \cdot (0,333 - 0,327) \right] \\ &Y_1 = 0,33 \\ z_2 = 45 \quad \rightarrow \quad Y_2 &= 0,396 + \left[\frac{45 - 43}{50 - 43} \cdot (0,408 - 0,396) \right] \\ &Y_2 = 0,399 \end{aligned}$$

Kecepatan keliling :

$$\begin{aligned} v &= \frac{\pi \cdot d_{01} \cdot n}{60 \cdot 1000} \\ v &= \frac{3,14 \cdot 132 \cdot 6000}{60 \cdot 1000} = 41,448 \text{ m/s} \end{aligned}$$

Gaya tangensial :

$$\begin{aligned} F_t &= \frac{102 \cdot Pd}{v} \\ F_t &= \frac{102 \cdot 76,81}{41,448} = 189,023 \text{ kg} \end{aligned}$$

Faktor dinamis :

$$f_v = \frac{5,5}{5,5 + \sqrt{v}}$$

$$f_v = \frac{5,5}{5,5 + \sqrt{41,448}} = 0,461$$

Bahan masing – masing gigi perlakuan panas :

Pinyon S 35 C :

Kekuatan tarik $\sigma_{B1} = 52 \text{ kg/mm}^2$

Kekerasan permukaan gigi $H_{B1} = 187$ (rata-rata)

Roda gigi besar FC 20 :

Kekuatan tarik $\sigma_{B2} = 20 \text{ kg/mm}^2$

Kekerasan permukaan gigi $H_{B2} = 170$ (rata-rata)

Tegangan lentur yang diizinkan :

S 35 C : $\sigma_{a1} = 26 \text{ kg/mm}^2$

FC 20 : $\sigma_{a2} = 9 \text{ kg/mm}^2$

Faktor tegangan kontak antara baja karbon kekerasan 200 HB dengan besi cor maka,
 $K_H = 0,079 \text{ kg/mm}^2$.

Beban lentur yang diizinkan persatuan lebar :

$$F_b = \sigma_a \cdot m \cdot Y \cdot f_v$$

$$F'_{b1} = \sigma_{a1} \cdot m \cdot Y_1 \cdot f_v$$

$$= 26 \cdot 6 \cdot 0,33 \cdot 0,461$$

$$= 23,73 \text{ kg/mm}$$

$$F'_{b2} = \sigma_{a2} \cdot m \cdot Y_2 \cdot f_v$$

$$= 9 \cdot 6 \cdot 0,399 \cdot 0,461$$

$$= 9,93 \text{ kg / mm}$$

Beban permukaan yang diizinkan persatuan lebar :

$$F'_{H_1} = f_v \cdot k_H \cdot d_{01} \cdot \frac{2 \cdot z_2}{z_1 + z_2}$$

$$F'_{H_1} = 0,461 \cdot 0,079 \cdot 132 \cdot \frac{2 \cdot 45}{22 + 45}$$

$$= 6,46 \text{ kg / mm}$$

Harga minimum $F'_{\min} = 6,46 \text{ kg / mm}$ dari F'_{H_1}

4.4. Perhitungan Roda Gigi Kecepatan Tiga

Diketahui : $P = 95 \text{ PS} = 69,825 \text{ kW}$

$n_1 = 6000 \text{ rpm}$

$i = 1,407$ (Perbandingan gigi, berdasarkan spesifikasi)

Faktor koreksi (fc) daya maksimum yang diperlukan 0,8 - 1,2. diambil $fc = 1,1$

Daya rencana P_d :

$$\begin{aligned} P_d &= fc \cdot P \\ &= 1,1 \cdot 69,825 = 76,81 \text{ kW} \end{aligned}$$

Diameter sementara lingkaran jarak bagi :

$$d_1 = \frac{2 \cdot 200}{1 + i}$$

$$d_1 = \frac{2 \cdot 200}{1 + 1,407} = 166,18 \text{ mm}$$

$$d_2 = \frac{2 \cdot 200 \cdot i}{1 + i}$$

$$d_2 = \frac{2 \cdot 200 \cdot 1,407}{1 + 1,407} = 233,82 \text{ mm}$$

Modul pahat $m = 6$

Jumlah gigi :

$$m = \frac{d}{z} \Rightarrow z = \frac{d}{m}$$

$$z_1 = \frac{d_1}{m} = \frac{166,18}{6} = 27,69 \approx 28$$

$$z_2 = \frac{d_2}{m} = \frac{233,82}{6} = 38,97 \approx 39$$

Perbandingan gigi :

$$i = \frac{z_2}{z_1}$$

$$i = \frac{39}{28} = 1,39$$

Diameter lingkaran jarak bagi (roda gigi standar) :

$$\begin{aligned} d_{01} &= z_1 \cdot m \\ &= 28 \cdot 6 = 168 \text{ mm} \end{aligned}$$

$$\begin{aligned} d_{02} &= z_2 \cdot m \\ &= 39 \cdot 6 = 234 \text{ mm} \end{aligned}$$

Jarak sumbu poros :

$$a_0 = \frac{d_{01} + d_{02}}{2}$$

$$= \frac{168 + 234}{2} = 201 \text{ mm}$$

Kelonggaran puncak :

$$C_k = 0,25 \cdot m$$

$$= 0,25 \cdot 6 = 1,5$$

Diameter kepala :

$$d_{k1} = (z_1 + 2) \cdot m = (28 + 2) \cdot 6 = 180 \text{ mm}$$

$$d_{k2} = (z_2 + 2) \cdot m = (39 + 2) \cdot 6 = 246 \text{ mm}$$

Diameter kaki :

$$d_{f1} = (z_1 - 2) \cdot m - 2 \cdot C_k$$

$$= (28 - 2) \cdot 6 - 2 \cdot 1,5 = 153 \text{ mm}$$

$$d_{f2} = (z_2 - 2) \cdot m - 2 \cdot C_k$$

$$= (39 - 2) \cdot 6 - 2 \cdot 1,5 = 219 \text{ mm}$$

Kedalaman pemotongan :

$$H = 2 \cdot m + C_k$$

$$= 2 \cdot 6 + 1,5 = 13,5 \text{ mm}$$

Faktor bentuk gigi, dari Tabel 3.5.

$$z_1 = 28 \rightarrow Y_1 = 0,349 + \left[\frac{28 - 27}{30 - 27} \cdot (0,358 - 0,349) \right]$$

$$Y_1 = 0,352$$

$$z_2 = 39 \rightarrow Y_2 = 0,383 + \left[\frac{39 - 38}{43 - 38} \cdot (0,396 - 0,383) \right]$$

$$Y_2 = 0,386$$

Kecepatan keliling :

$$v = \frac{\pi \cdot d_{01} \cdot n}{60 \cdot 1000}$$

$$v = \frac{3,14 \cdot 168 \cdot 6000}{60 \cdot 1000} = 52,752 \text{ m/s}$$

Gaya tangensial :

$$F_t = \frac{102 \cdot Pd}{v}$$

$$F_t = \frac{102 \cdot 76,81}{52,752} = 148,52 \text{ kg}$$

Faktor dinamis :

$$f_v = \frac{5,5}{5,5 + \sqrt{v}}$$

$$f_v = \frac{5,5}{5,5 + \sqrt{52,752}} = 0,431$$

Bahan masing – masing gigi perlakuan panas :

Pinyon S 35 C :

Kekuatan tarik $\sigma_{B1} = 52 \text{ kg/mm}^2$

Kekerasan permukaan gigi $H_{B1} = 187$ (rata-rata)

Roda gigi besar FC 20 :

Kekuatan tarik $\sigma_{B2} = 20 \text{ kg/mm}^2$

Kekerasan permukaan gigi $H_{B2} = 170$ (rata-rata)

Tegangan lentur yang diizinkan :

$$S\ 35\ C : \quad \sigma_{a1} = 26\ kg/mm^2$$

$$FC\ 20 : \quad \sigma_{a2} = 9\ kg/mm^2$$

Faktor tegangan kontak antara baja karbon kekerasan 200 HB dengan besi cor maka,
 $K_H = 0,079\ kg/mm^2$.

Beban lentur yang diizinkan persatuan lebar :

$$F_b = \sigma_a \cdot m \cdot Y \cdot f_v$$

$$\begin{aligned} F'_{b1} &= \sigma_{a1} \cdot m \cdot Y_1 \cdot f_v \\ &= 26 \cdot 6 \cdot 0,352 \cdot 0,431 \\ &= 23,67\ kg/mm \\ F'_{b2} &= \sigma_{a2} \cdot m \cdot Y_2 \cdot f_v \\ &= 9 \cdot 6 \cdot 0,386 \cdot 0,431 \\ &= 8,98\ kg/mm \end{aligned}$$

Beban permukaan yang diizinkan persatuan lebar :

$$\begin{aligned} F'_{H} &= f_v \cdot k_H \cdot d_{01} \cdot \frac{2 \cdot z_2}{z_1 + z_2} \\ F'_{H} &= 0,431 \cdot 0,079 \cdot 168 \cdot \frac{2 \cdot 39}{28 + 39} \\ &= 6,66\ kg/mm \end{aligned}$$

Harga minimum $F'_{min} = 6,66\ kg/mm$ dari F'_{H}

4.5. Perhitungan Roda Gigi Kecepatan Empat

Diketahui : $P = 95\ PS = 69,825\ kW$

$n_1 = 6000\ rpm$

$i = 1,054$ (Perbandingan gigi, berdasarkan spesifikasi)

Faktor koreksi (fc) daya maksimum yang diperlukan 0,8 - 1,2. diambil $fc = 1,1$

Daya rencana Pd :

$$\begin{aligned} Pd &= fc \cdot P \\ &= 1,1 \cdot 69,825 = 76,81 \text{ kW} \end{aligned}$$

Diameter sementara lingkaran jarak bagi :

$$\begin{aligned} d_1 &= \frac{2 \cdot 200}{1+i} \\ d_1 &= \frac{2 \cdot 200}{1+1,054} = 194,74 \text{ mm} \\ d_2 &= \frac{2 \cdot 200 \cdot i}{1+i} \\ d_2 &= \frac{2 \cdot 200 \cdot 1,054}{1+1,054} = 205,26 \text{ mm} \end{aligned}$$

Modul pahat $m = 6$

Jumlah gigi :

$$\begin{aligned} m &= \frac{d}{z} \Rightarrow z = \frac{d}{m} \\ z_1 &= \frac{d_1}{m} = \frac{194,74}{6} = 32,46 \approx 33 \\ z_2 &= \frac{d_2}{m} = \frac{205,26}{6} = 34,21 \approx 35 \end{aligned}$$

Perbandingan gigi :

$$i = \frac{z_2}{z_1}$$

$$i = \frac{35}{33} = 1,06$$

Diameter lingkaran jarak bagi (roda gigi standar) :

$$\begin{aligned}d_{01} &= z_1 \cdot m \\&= 33 \cdot 6 = 198 \text{ mm} \\d_{02} &= z_2 \cdot m \\&= 35 \cdot 6 = 210 \text{ mm}\end{aligned}$$

Jarak sumbu poros :

$$\begin{aligned}a_0 &= \frac{d_{01} + d_{02}}{2} \\&= \frac{198 + 210}{2} = 204 \text{ mm}\end{aligned}$$

Kelonggaran puncak :

$$\begin{aligned}C_k &= 0,25 \cdot m \\&= 0,25 \cdot 6 = 1,5\end{aligned}$$

Diameter kepala :

$$\begin{aligned}d_{k1} &= (z_1 + 2) \cdot m = (33 + 2) \cdot 6 = 210 \text{ mm} \\d_{k2} &= (z_2 + 2) \cdot m = (35 + 2) \cdot 6 = 222 \text{ mm}\end{aligned}$$

Diameter kaki :

$$\begin{aligned}d_{f1} &= (z_1 - 2) \cdot m - 2 \cdot C_k \\&= (33 - 2) \cdot 6 - 2 \cdot 1,5 = 183 \text{ mm} \\d_{f2} &= (z_2 - 2) \cdot m - 2 \cdot C_k\end{aligned}$$

$$= (35 - 2) \cdot 6 - 2 \cdot 1,5 = 195 \text{ mm}$$

Kedalaman pemotongan :

$$\begin{aligned} H &= 2 \cdot m + C_k \\ &= 2 \cdot 6 + 1,5 = 13,5 \text{ mm} \end{aligned}$$

Faktor bentuk gigi, dari Tabel 3.5.

$$z_1 = 33 \rightarrow Y_1 = 0,358 + \left[\frac{33 - 30}{34 - 30} \cdot (0,371 - 0,358) \right]$$

$$Y_1 = 0,368$$

$$z_2 = 35 \rightarrow Y_2 = 0,371 + \left[\frac{35 - 34}{38 - 34} \cdot (0,383 - 0,371) \right]$$

$$Y_2 = 0,374$$

Kecepatan keliling :

$$\begin{aligned} v &= \frac{\pi \cdot d_{01} \cdot n}{60 \cdot 1000} \\ v &= \frac{3,14 \cdot 198 \cdot 6000}{60 \cdot 1000} = 62,172 \text{ m/s} \end{aligned}$$

Gaya tangensial :

$$\begin{aligned} F_t &= \frac{102 \cdot Pd}{v} \\ F_t &= \frac{102 \cdot 76,81}{62,172} = 126,015 \text{ kg} \end{aligned}$$

Faktor dinamis :

$$f_v = \frac{5,5}{5,5 + \sqrt{v}}$$

$$f_v = \frac{5,5}{5,5 + \sqrt{62,172}} = 0,411$$

Bahan masing – masing gigi perlakuan panas :

Pinyon S 35 C :

Kekuatan tarik $\sigma_{B1} = 52 \text{ kg/mm}^2$

Kekerasan permukaan gigi $H_{B1} = 187$ (rata-rata)

Roda gigi besar FC 20 :

Kekuatan tarik $\sigma_{B2} = 20 \text{ kg/mm}^2$

Kekerasan permukaan gigi $H_{B2} = 170$ (rata-rata)

Tegangan lentur yang diizinkan :

S 35 C : $\sigma_{a1} = 26 \text{ kg/mm}^2$

FC 20 : $\sigma_{a2} = 9 \text{ kg/mm}^2$

Faktor tegangan kontak antara baja karbon kekerasan 200 HB dengan besi cor maka,

$$K_H = 0,079 \text{ kg/mm}^2$$

Beban lentur yang diizinkan persatuan lebar :

$$F_b = \sigma_a \cdot m \cdot Y \cdot f_v$$

$$\begin{aligned} F'_{b1} &= \sigma_{a1} \cdot m \cdot Y_1 \cdot f_v \\ &= 26 \cdot 6 \cdot 0,368 \cdot 0,411 \\ &= 23,59 \text{ kg/mm} \end{aligned}$$

$$\begin{aligned} F'_{b2} &= \sigma_{a2} \cdot m \cdot Y_2 \cdot f_v \\ &= 9 \cdot 6 \cdot 0,374 \cdot 0,411 \\ &= 8,3 \text{ kg/mm} \end{aligned}$$

Beban permukaan yang diizinkan persatuan lebar :

$$F'_H = f_v \cdot k_H \cdot d_{01} \cdot \frac{2 \cdot z_2}{z_1 + z_2}$$

$$\begin{aligned} F'_H &= 0,411 \cdot 0,079 \cdot 198 \cdot \frac{2 \cdot 35}{33 + 35} \\ &= 6,62 \text{ kg / mm} \end{aligned}$$

Harga minimum $F'_{\min} = 6,62 \text{ kg / mm}$ dari F'_H

4.6. Perhitungan Roda Gigi Kecepatan Lima

Diketahui : $P = 95 \text{ PS} = 69,825 \text{ kW}$

$n_l = 6000 \text{ rpm}$

$i = 0,815$ (Perbandingan gigi, berdasarkan spesifikasi)

Faktor koreksi (fc) daya maksimum yang diperlukan 0,8 - 1,2. diambil $fc = 1,1$

Daya rencana P_d :

$$\begin{aligned} P_d &= fc \cdot P \\ &= 1,1 \cdot 69,825 = 76,81 \text{ kW} \end{aligned}$$

Diameter sementara lingkaran jarak bagi :

$$d_1 = \frac{2 \cdot 200}{1 + i}$$

$$d_1 = \frac{2 \cdot 200}{1 + 0,815} = 220,38 \text{ mm}$$

$$d_2 = \frac{2 \cdot 200 \cdot i}{1 + i}$$

$$d_2 = \frac{2 \cdot 200 \cdot 0,815}{1 + 0,815} = 179,61 \text{ mm}$$

Modul pahat $m = 6$

Jumlah gigi :

$$m = \frac{d}{z} \Rightarrow z = \frac{d}{m}$$

$$z_1 = \frac{d_1}{m} = \frac{220,38}{6} = 36,73 \approx 37$$

$$z_2 = \frac{d_2}{m} = \frac{179,61}{6} = 29,93 \approx 30$$

Perbandingan gigi :

$$i = \frac{z_2}{z_1}$$

$$i = \frac{30}{37} = 0,81$$

Diameter lingkaran jarak bagi (tanda gigi standar) :

$$\begin{aligned} d_{01} &= z_1 \cdot m \\ &= 37 \cdot 6 = 222 \text{ mm} \end{aligned}$$

$$\begin{aligned} d_{02} &= z_2 \cdot m \\ &= 30 \cdot 6 = 180 \text{ mm} \end{aligned}$$

Jarak sumbu poros :

$$\begin{aligned} a_0 &= \frac{d_{01} + d_{02}}{2} \\ &= \frac{222 + 180}{2} = 201 \text{ mm} \end{aligned}$$

Kelonggaran puncak :

$$\begin{aligned} C_k &= 0,25 \cdot m \\ &= 0,25 \cdot 6 = 1,5 \end{aligned}$$

Diameter kepala :

$$d_{k1} = (z_1 + 2) \cdot m = (37 + 2) \cdot 6 = 234 \text{ mm}$$

$$d_{k2} = (z_2 + 2) \cdot m = (30 + 2) \cdot 6 = 192 \text{ mm}$$

Diameter kaki :

$$\begin{aligned} d_{f1} &= (z_1 - 2) \cdot m - 2 \cdot C_k \\ &= (37 - 2) \cdot 6 - 2 \cdot 1,5 = 207 \text{ mm} \\ d_{f2} &= (z_2 - 2) \cdot m - 2 \cdot C_k \\ &= (30 - 2) \cdot 6 - 2 \cdot 1,5 = 165 \text{ mm} \end{aligned}$$

Kedalaman pemotongan :

$$\begin{aligned} H &= 2 \cdot m + C_k \\ &= 2 \cdot 6 + 1,5 = 13,5 \text{ mm} \end{aligned}$$

Faktor bentuk gigi, dari Tabel 3.5.

$$z_1 = 37 \rightarrow Y_1 = 0,371 + \left[\frac{37 - 34}{38 - 34} \cdot (0,383 - 0,371) \right]$$

$$Y_1 = 0,38$$

$$z_2 = 30 \rightarrow Y_2 = 0,358$$

Kecepatan keliling :

$$\begin{aligned} v &= \frac{\pi \cdot d_{01} \cdot n}{60 \cdot 1000} \\ v &= \frac{3,14 \cdot 222 \cdot 6000}{60 \cdot 1000} = 69,708 \text{ m/s} \end{aligned}$$

Gaya tangensial :

$$F_t = \frac{102 \cdot Pd}{v}$$

$$F_r = \frac{102 \cdot 76,81}{69,708} = 112,39 \text{ kg}$$

Faktor dinamis :

$$f_v = \frac{5,5}{5,5 + \sqrt{v}}$$

$$f_v = \frac{5,5}{5,5 + \sqrt{69,708}} = 0,397$$

Bahan masing -- masing gigi perlakuan panas :

Pinyon S 35 C :

Kekuatan tarik $\sigma_{B1} = 52 \text{ kg/mm}^2$

Kekerasan permukaan gigi $H_{B1} = 187$ (rata-rata)

Roda gigi besar FC 20 :

Kekuatan tarik $\sigma_{B2} = 20 \text{ kg/mm}^2$

Kekerasan permukaan gigi $H_{B2} = 170$ (rata-rata)

Tegangan lentur yang diizinkan :

S 35 C : $\sigma_{a1} = 26 \text{ kg/mm}^2$

FC 20 : $\sigma_{a2} = 9 \text{ kg/mm}^2$

Faktor tegangan kontak antara baja karbon kekerasan 200 HB dengan besi cor maka,
 $K_H = 0,079 \text{ kg/mm}^2$.

Beban lentur yang diizinkan persatuan lebar :

$$F_b = \sigma_a \cdot m \cdot Y \cdot f_v$$

$$F'_{b1} = \sigma_{a1} \cdot m \cdot Y_1 \cdot f_v \\ = 26 \cdot 6 \cdot 0,38 \cdot 0,397 \\ = 23,53 \text{ kg / mm}$$

$$F'_{b2} = \sigma_{a2} \cdot m \cdot Y_2 \cdot f_v \\ = 9 \cdot 6 \cdot 0,358 \cdot 0,397 \\ = 7,67 \text{ kg / mm}$$

Beban permukaan yang diizinkan persatuan lebar :

$$F'_{H} = f_v \cdot k_H \cdot d_{01} \cdot \frac{2 \cdot z_2}{z_1 + z_2} \\ F'_{H} = 0,397 \cdot 0,079 \cdot 222 \cdot \frac{2 \cdot 30}{37 + 30} \\ = 6,23 \text{ kg / mm}$$

Harga minimum $F'_{\min} = 6,23 \text{ kg / mm}$ dari F'_{H}

4.7. Perhitungan Roda Gigi Kecepatan Mundur (Reverse)

Diketahui : $P = 95 \text{ PS} = 69,825 \text{ kW}$
 $n_I = 6000 \text{ rpm}$
 $i = 3,250$ (Perbandingan gigi, berdasarkan spesifikasi)

Faktor koreksi (fc) daya maksimum yang diperlukan 0,8 - 1,2. diambil $fc = 1,1$

Daya rencana Pd :

$$Pd = fc \cdot P \\ = 1,1 \cdot 69,825 = 76,81 \text{ kW}$$

Diameter sementara lingkaran jarak bagi :

$$d_1 = \frac{2 \cdot 200}{1+i}$$

$$d_1 = \frac{2 \cdot 200}{1+3,250} = 94,12 \text{ mm}$$

$$d_2 = \frac{2 \cdot 200 \cdot i}{1+i}$$

$$d_2 = \frac{2 \cdot 200 \cdot 3,250}{1+3,250} = 305,88 \text{ mm}$$

Modul pahat $m = 6$

Jumlah gigi :

$$m = \frac{d}{z} \Rightarrow z = \frac{d}{m}$$

$$z_1 = \frac{d_1}{m} = \frac{94,12}{6} = 15,68 \approx 16$$

$$z_2 = \frac{d_2}{m} = \frac{305,88}{6} = 50,98 \approx 51$$

Perbandingan gigi :

$$i = \frac{z_2}{z_1}$$

$$i = \frac{51}{16} = 3,18$$

Diameter lingkaran jarak bagi (roda gigi standar) :

$$\begin{aligned} d_{01} &= z_1 \cdot m \\ &= 16 \cdot 6 = 96 \text{ mm} \end{aligned}$$

$$d_{02} = z_2 \cdot m$$

$$= 51 \cdot 6 = 306 \text{ mm}$$

Jarak sumbu poros :

$$\begin{aligned} a_0 &= \frac{d_{01} + d_{02}}{2} \\ &= \frac{96 + 306}{2} = 201 \text{ mm} \end{aligned}$$

Kelonggaran puncak :

$$\begin{aligned} C_k &= 0,25 \cdot m \\ &= 0,25 \cdot 6 = 1,5 \end{aligned}$$

Diameter kepala :

$$\begin{aligned} d_{k1} &= (z_1 + 2) \cdot m = (16 + 2) \cdot 6 = 108 \text{ mm} \\ d_{k2} &= (z_2 + 2) \cdot m = (51 + 2) \cdot 6 = 318 \text{ mm} \end{aligned}$$

Diameter kaki :

$$\begin{aligned} d_{f1} &= (z_1 - 2) \cdot m - 2 \cdot C_k \\ &= (16 - 2) \cdot 6 - 2 \cdot 1,5 = 81 \text{ mm} \\ d_{f2} &= (z_2 - 2) \cdot m - 2 \cdot C_k \\ &= (51 - 2) \cdot 6 - 2 \cdot 1,5 = 291 \text{ mm} \end{aligned}$$

Kedalaman pemotongan :

$$\begin{aligned} H &= 2 \cdot m + C_k \\ &= 2 \cdot 6 + 1,5 = 13,5 \text{ mm} \end{aligned}$$

Faktor bentuk gigi, dari Tabel 3.5.

$$z_1 = 16 \rightarrow Y_1 = 0,295$$

$$z_2 = 51 \rightarrow Y_2 = 0,408 + \left[\frac{51-50}{60-50} \cdot (0,421 - 0,408) \right]$$

$$Y_2 = 0,409$$

Kecepatan keliling :

$$v = \frac{\pi \cdot d_{01} \cdot n}{60 \cdot 1000}$$

$$v = \frac{3,14 \cdot 98 \cdot 6000}{60 \cdot 1000} = 30,772 \text{ m/s}$$

Gaya tangensial :

$$F_t = \frac{102 \cdot Pd}{v}$$

$$F_t = \frac{102 \cdot 76,81}{30,772} = 254,6 \text{ kg}$$

Faktor dinamis :

$$f_v = \frac{5,5}{5,5 + \sqrt{v}}$$

$$f_v = \frac{5,5}{5,5 + \sqrt{30,772}} = 0,498$$

Bahan masing – masing gigi perlakuan panas :

Pinyon S 35 C :

Kekuatan tarik $\sigma_{B1} = 52 \text{ kg/mm}^2$

Kekerasan permukaan gigi $H_{B1} = 187$ (rata-rata)

Roda gigi besar FC 20 :

Kekuatan tarik $\sigma_{B2} = 20 \text{ kg/mm}^2$

Kekerasan permukaan gigi $H_{B2} = 170$ (rata-rata)

Tegangan lentur yang diizinkan :

$$S\ 35\ C : \sigma_{a1} = 26\ kg/mm^2$$

$$FC\ 20 : \sigma_{a2} = 9\ kg/mm^2$$

Faktor tegangan kontak antara baja karbon kekerasan 200 H_B dengan besi cor maka,
 $K_H = 0,079\ kg/mm^2$.

Beban lentur yang diizinkan persatuan lebar :

$$F_b = \sigma_a \cdot m \cdot Y \cdot f_v$$

$$\begin{aligned} F'_{b1} &= \sigma_{a1} \cdot m \cdot Y_1 \cdot f_v \\ &= 26 \cdot 6 \cdot 0,295 \cdot 0,498 \\ &= 22,92\ kg/mm \\ F'_{b2} &= \sigma_{a2} \cdot m \cdot Y_2 \cdot f_v \\ &= 9 \cdot 6 \cdot 0,409 \cdot 0,498 \\ &= 10,99\ kg/mm \end{aligned}$$

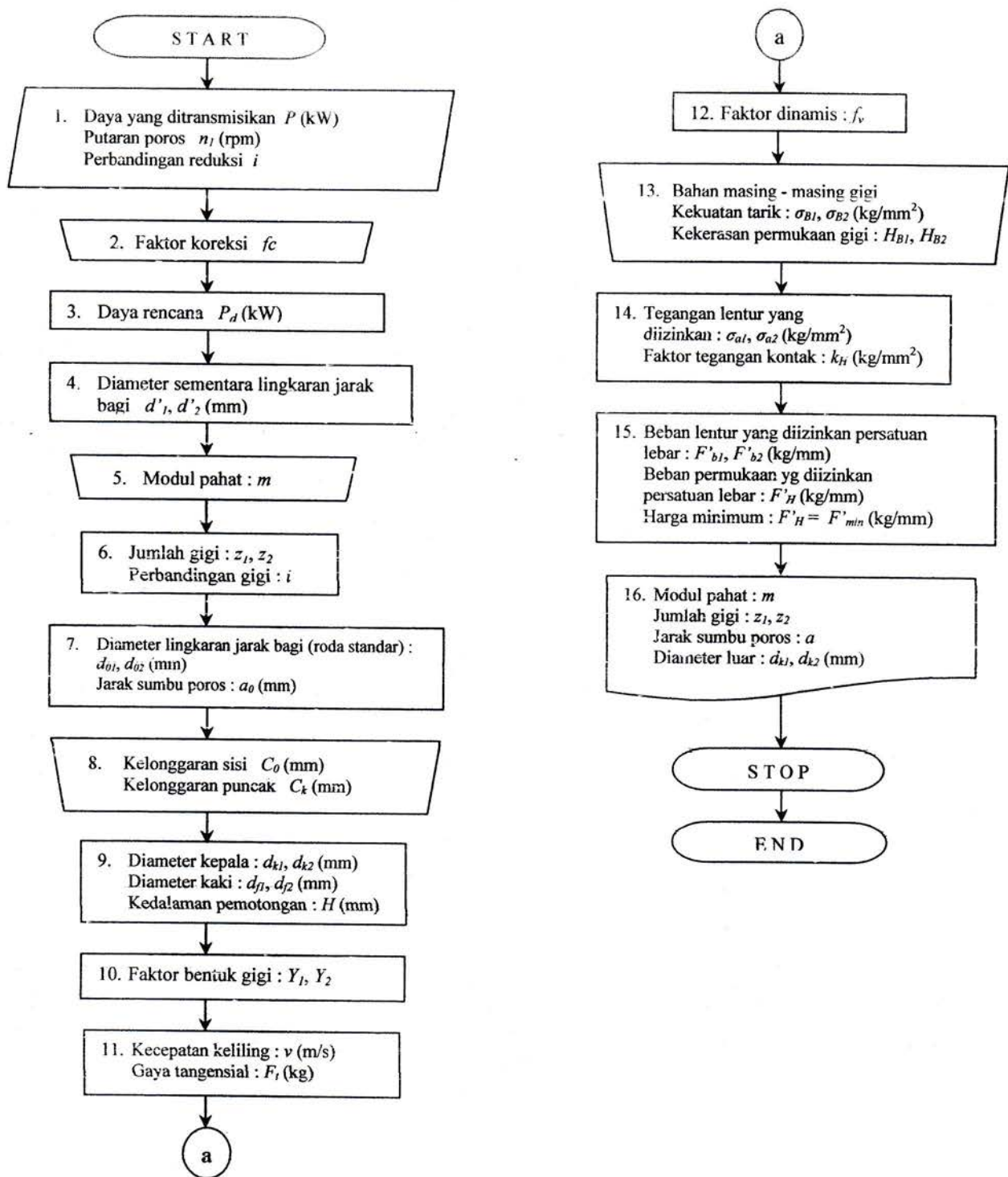
Beban permukaan yang diizinkan persatuan lebar :

$$F'_{H} = f_v \cdot k_H \cdot d_{01} \cdot \frac{2 \cdot z_2}{z_i + z_2}$$

$$\begin{aligned} F'_{H} &= 0,498 \cdot 0,079 \cdot 96 \cdot \frac{2 \cdot 51}{16 + 51} \\ &= 5,75\ kg/mm \end{aligned}$$

Harga minimum $F'_{\min} = 5,75\ kg/mm$ dari F'_{H}

Diagram aliran roda gigi



BAB V

KESIMPULAN

5.1 Kesimpulan

Dan dari hasil perhitungan rancangan Roda gigi untuk Suzuki Ertiga diperoleh data sebagai berikut :

1. Perhitungan Poros

Momen Torsi (T)	=	11334,925 kg.mm
Bahan Poros	=	S35C
Diameter Poros	=	30 mm

2. Perhitungan Spline Dan Naaf

Bahan spline dan naaf	=	S35C
Lebar spline (b)	=	6 mm
Jumlah spline dan naaf (i)	=	8
Diameter luar spline (d_2)	=	38 mm
Jari - jari spline dan naaf (rm)	=	17 mm
Tinggi spline dan naaf (h)	=	4 mm
Panjang spline dan naaf (L)	=	60,97 mm
Gaya bekerja pada spline dan naaf	=	666,76 kg

3. Perhitungan komponen utama roda gigi :

Roda Gigi 1

Bahan roda gigi	=	FC 20
Jumlah gigi (z_1)	=	15
Diameter lingkaran jarak bagi (d_{01})	=	90 mm
Diameter kepala (d_{k1})	=	102 mm
Diameter kaki (d_{f1})	=	75 mm
Beban permukaan diizinkan (F'_H)	=	5,61 kg/mm

Roda Gigi 2

Bahan roda gigi	=	FC 20
Jumlah gigi (z_1)	=	22
Diameter lingkaran jarak bagi (d_{01})	=	132 mm
Diameter kepala (d_{k1})	=	144 mm
Diameter kaki (d_{f1})	=	117 mm
Beban permukaan diizinkan (F'_H)	=	6,46 kg/mm

Roda Gigi 3

Bahan roda gigi	=	FC 20
Jumlah gigi (z_1)	=	28
Diameter lingkaran jarak bagi (d_{01})	=	168 mm
Diameter kepala (d_{k1})	=	180 mm
Diameter kaki (d_{f1})	=	153 mm
Beban permukaan diizinkan (F'_H)	=	6,66 kg/mm

Roda Gigi 4

Bahan roda gigi	=	FC 20
Jumlah gigi (z_1)	=	33
Diameter lingkaran jarak bagi (d_{01})	=	198 mm
Diameter kepala (d_{k1})	=	210 mm
Diameter kaki (d_{f1})	=	183 mm
Beban permukaan diizinkan (F'_H)	=	6,62 kg/mm

Roda Gigi 5

Bahan roda gigi	=	FC 20
Jumlah gigi (z_1)	=	37
Diameter lingkaran jarak bagi (d_{01})	=	222 mm
Diameter kepala (d_{k1})	=	234 mm
Diameter kaki (d_{f1})	=	207 mm
Beban permukaan diizinkan (F'_H)	=	6,23 kg/mm

Roda Gigi mundur (*reverse*)

Bahan roda gigi	=	FC 20
Jumlah gigi (z_1)	=	16
Diameter lingkaran jarak bagi (d_{01})	=	96 mm
Diameter kepala (d_{k1})	=	108 mm
Diameter kaki (d_{f1})	=	81 mm
Beban permukaan diizinkan (F'_{H1})	=	5,75 kg/mm

4. Perhitungan Bantalan

Diameter bantalan (D)	=	55 mm
Lebar bantalan (B)	=	13 mm
Beban ekivalen dinamis bantalan (P)	=	54,37 kg
Umur nominal bantalan (L_h)	=	18797,688 jam

5. Perhitungan Baut dan Mur

Diameter luar (D)	=	6 mm
Diameter efektif (D_2)	=	5,350 mm
Diameter dalam (D_1)	=	4,917 mm
Diameter inti (d_1)	=	4,917 mm
Jarak bagi (p)	=	1 mm
Tinggi kaitan (H_1)	=	0,541 mm
Tinggi mur (H)	=	3 mm

DAFTAR PUSTAKA

1. Sularso, Ir, MSME, Kiyokat Suga, Prof, *Dasar Perencanaan dan Pemilihan Elemen Mesin*, cetakan V, Pradnya Paramita, Jakarta 1987.
2. Jac Stolk. Ir dan C. Kros. Ir, *Elemen Mesin (Elemen Kontruksi Bangunan Mesin)*, Erlangga, Jakarta 1993.
3. G. Takeshi Sato dan N Sugiarto H, Menggambar Mesin menurut Standart ISO, Pradnya Paramita, Jakarta, 1992.
4. Allex Vallance, Ventor Levi Doughtie, *Design of Machine Members*, third edition, Mc Graw - Hill Book Company Inc, New York, 1951.